



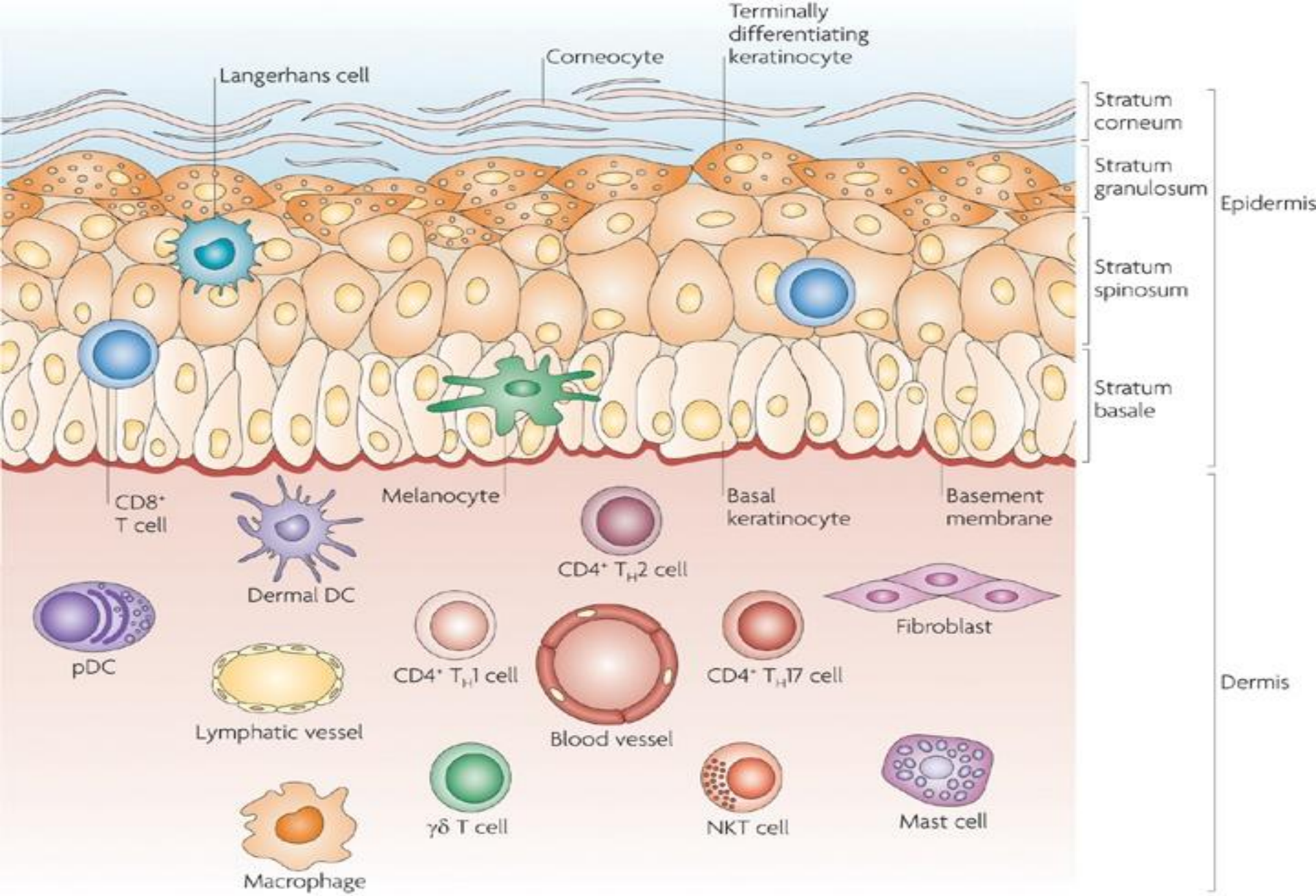
Percorsi Pediatrici *del* Val di Noto 2016



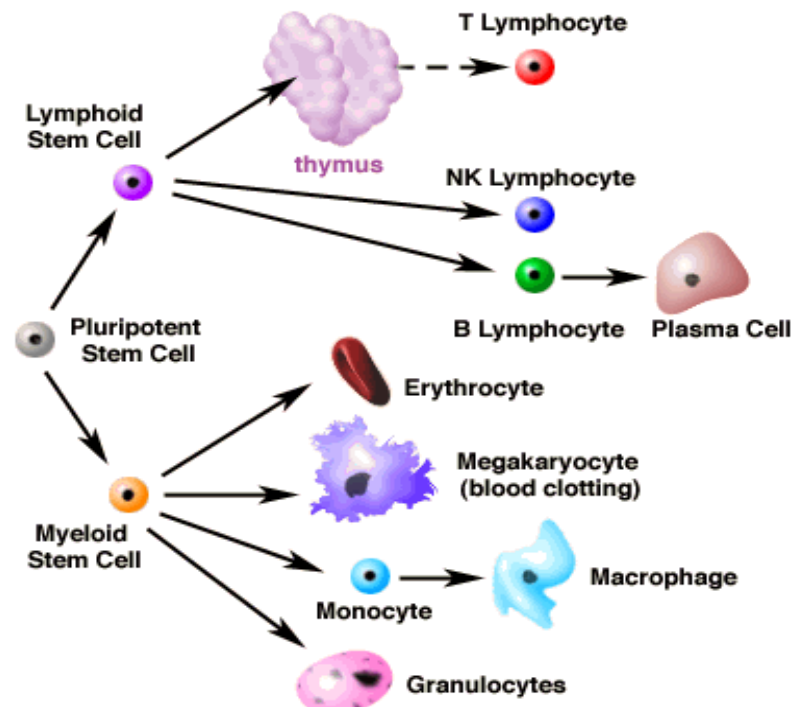
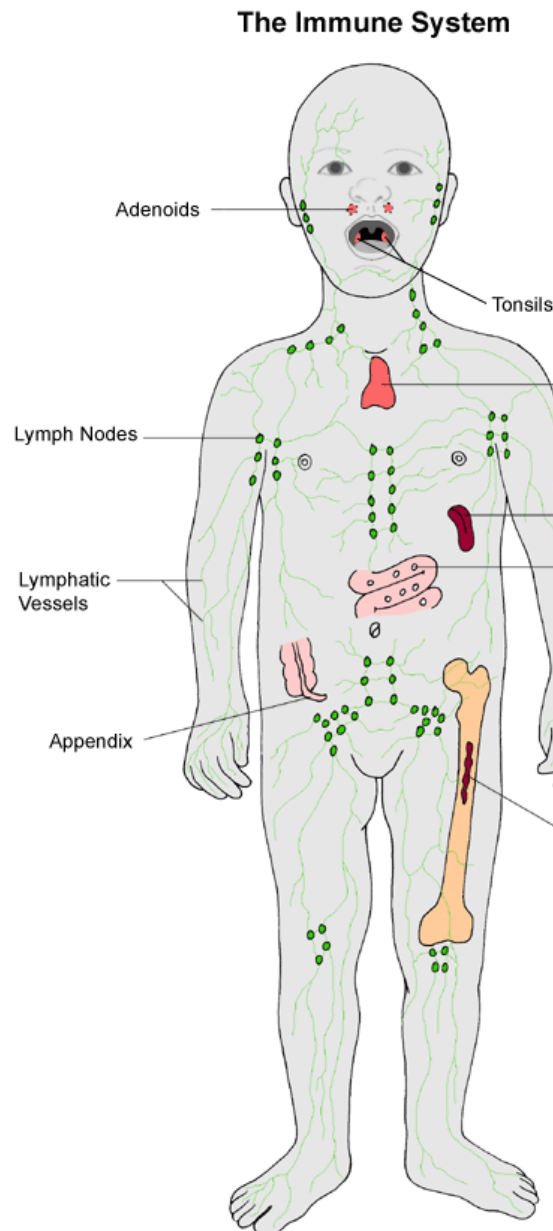
*Università degli studi di Messina
Dip. di Scienze Pediatriche Mediche e Chirurgiche
U.O. C. di Genetica ed Immunologia Pediatrica
Centro di Riferimento Regionale per la Prevenzione, Diagnosi
e Cura delle Malattie Genetiche
Direttore Prof. Carmelo Salpietro*

**LA PELLE COME
SPIA DI MALATTIA**

Carmelo Salpietro



MALT: TESSUTO LINFOIDE ASSOCIAZIONE A MUCOSE E CUTE



NALT: TESSUTO LINFOIDE ASSOCIAZIONE ALLE PRIME VIE AEREE

BALT: TESSUTO LINFOIDE ASSOCIAZIONE AI BRONCHI

GALT: TESSUTO LINFOIDE ASSOCIAZIONE ALL'INTESTINO

SALT: TESSUTO LINFOIDE ASSOCIAZIONE ALLA CUTE

BRONCOSPASMO



Respiratory tract



EDEMA LARINGEO

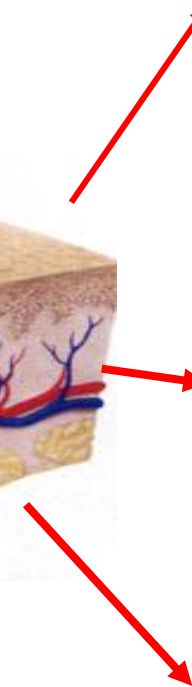
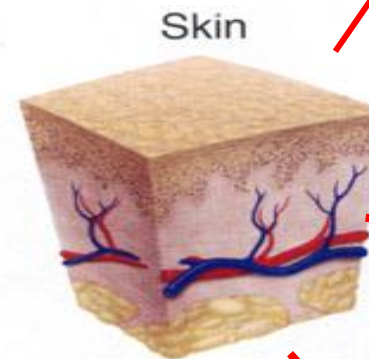
DERMATITE



ORTICARIA



ANGIOEDEMA



FUNZIONI DELLA CUTE: TRASMISSIONE

SISTEMA NEUROIMMUNOCUTANEO

MEDIATORI

ISTAMINA

NEUROPEPTIDI

Serotonin

Acetilcolina

Bradichinina

Prostaglandine

PROTEASI

Neurotrofine

Citochine (2-31)

Endocannabinoidi

Opioidi

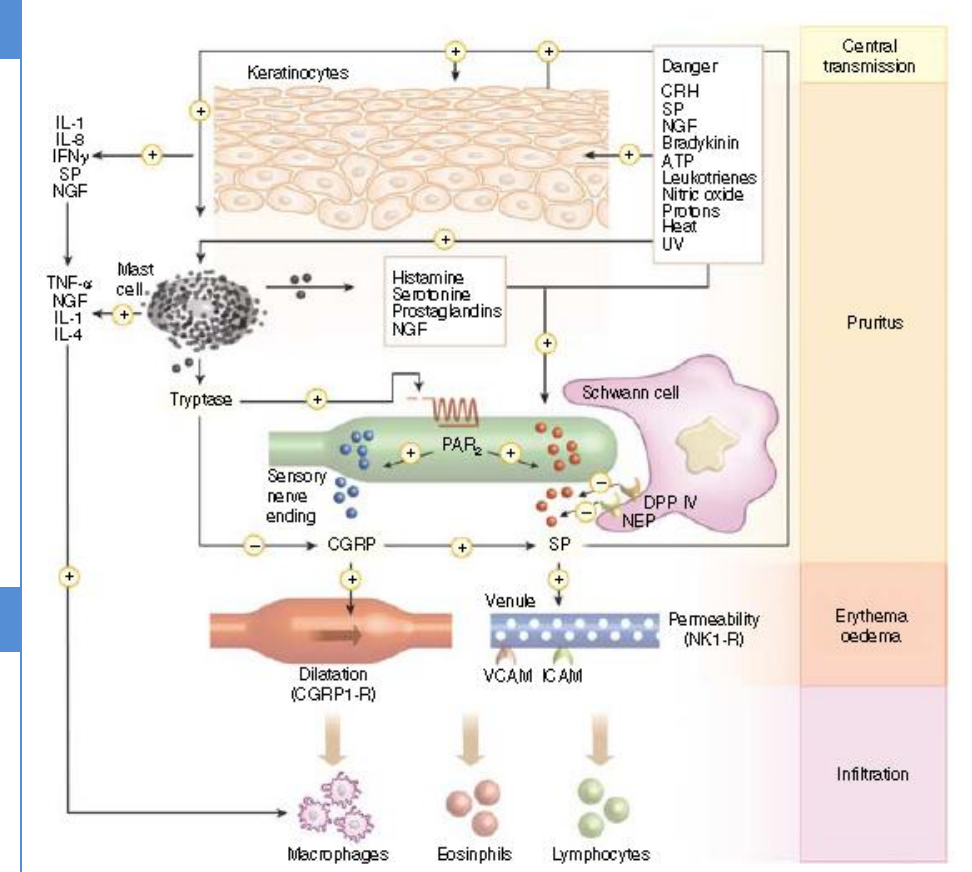
RECETTORI

H1

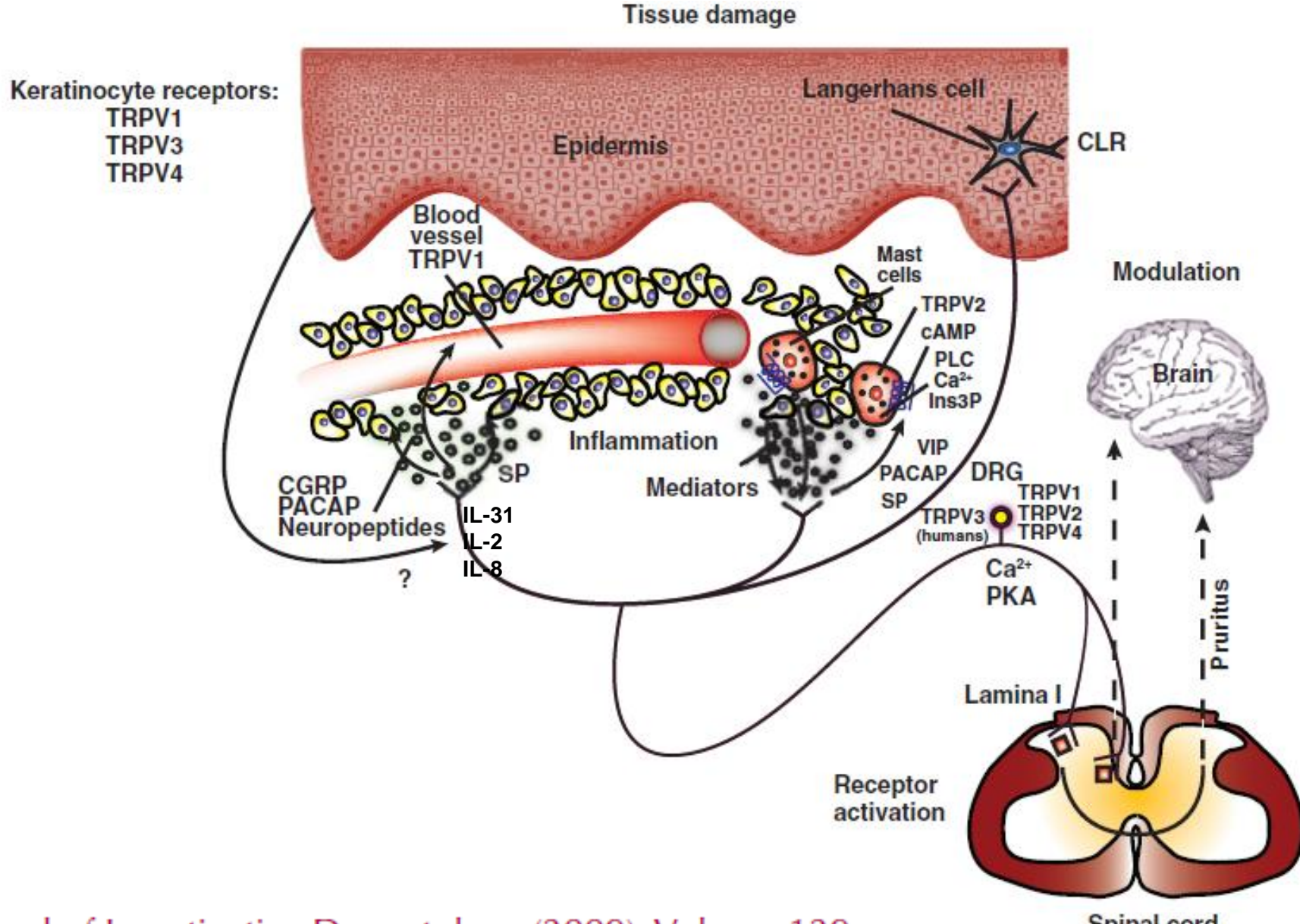
H2

TRP

*oppiodi
cannabinoidi*



IL PRURITO TRA MEDIATORI E RECETTORI

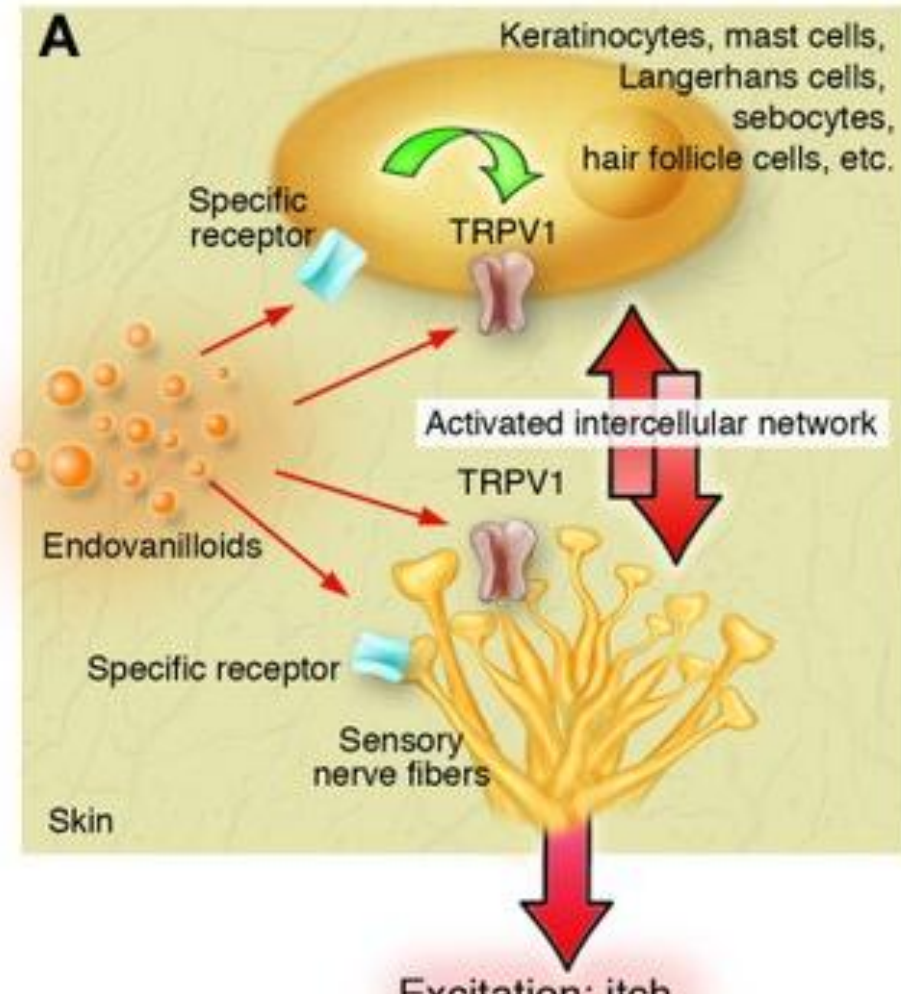


TRPV (transient receptors potential channel)

Detti anche **Recettori vanilloidi** sono canali ionici non selettivi che si trovano in diversi distretti (anche cutaneo e mucosale) specie nelle terminazioni nervose periferiche (nocicettori, **responsabili della regolazione della soglia individuale del dolore e del prurito**) comportandosi come modulatori del sistema di trasduzione del dolore. Essi sono attivati da sostanze rilasciate dalla cute e dalle mucose danneggiate (detto capsacinoidi)

DIVERSI SOTTOTIPI

TRPV1	17p13.3
TRPV2	17p11.2
TRPV3	17p13.3
TRPV4	12q24.1
TRPV5	7q35
TRPV6	7q33

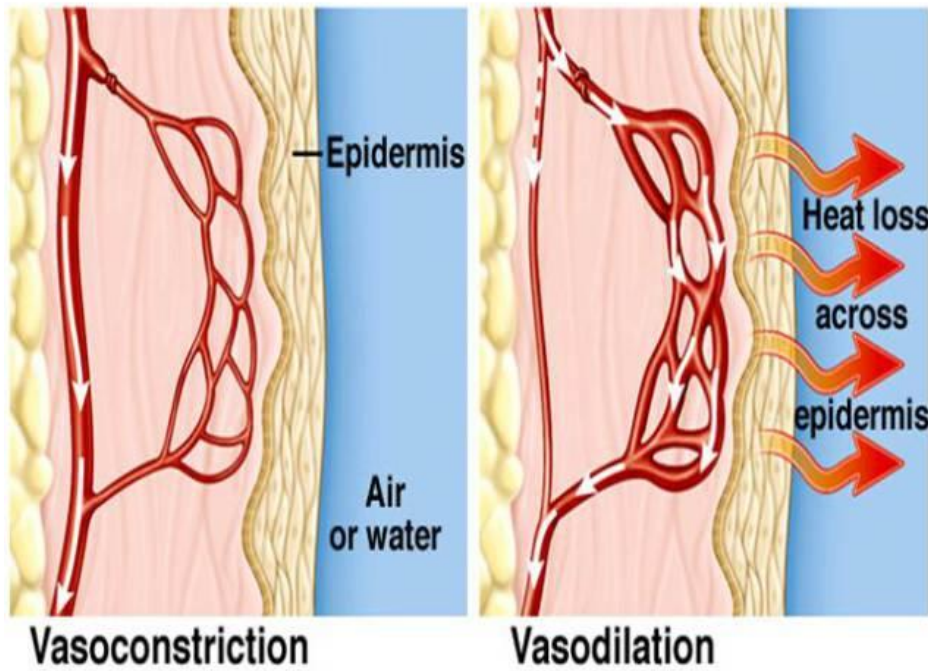
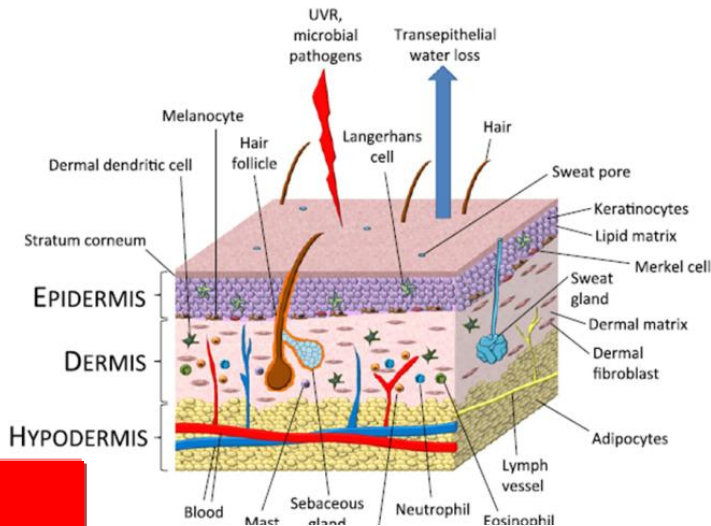
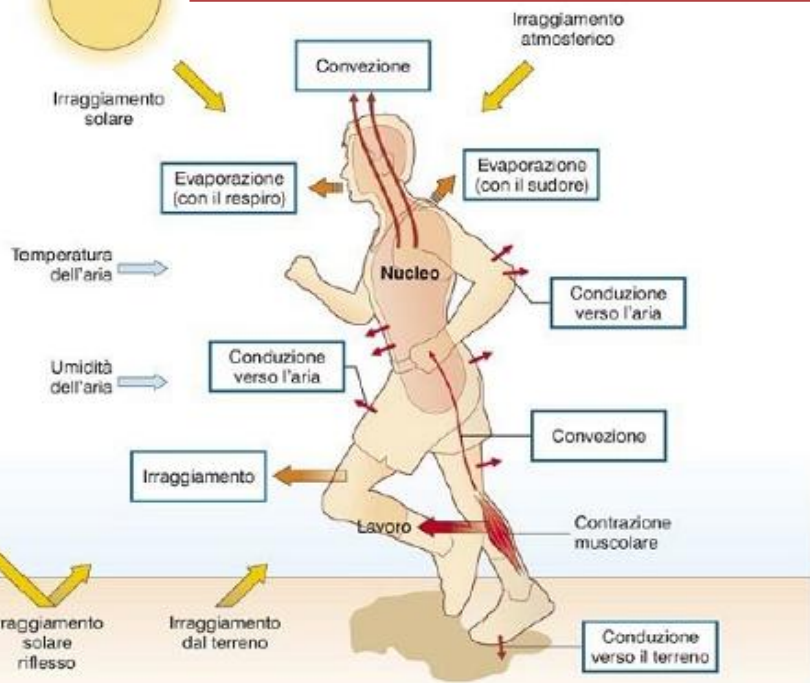


FUNZIONI DELLA CUTE: SCAMBIO

- Core Body Temperature
- Sweating
 - Vasodilation
 - 37.5°C > Thermoneutral zone
 - 36.5°C
 - Vasoconstriction
 - Shivering

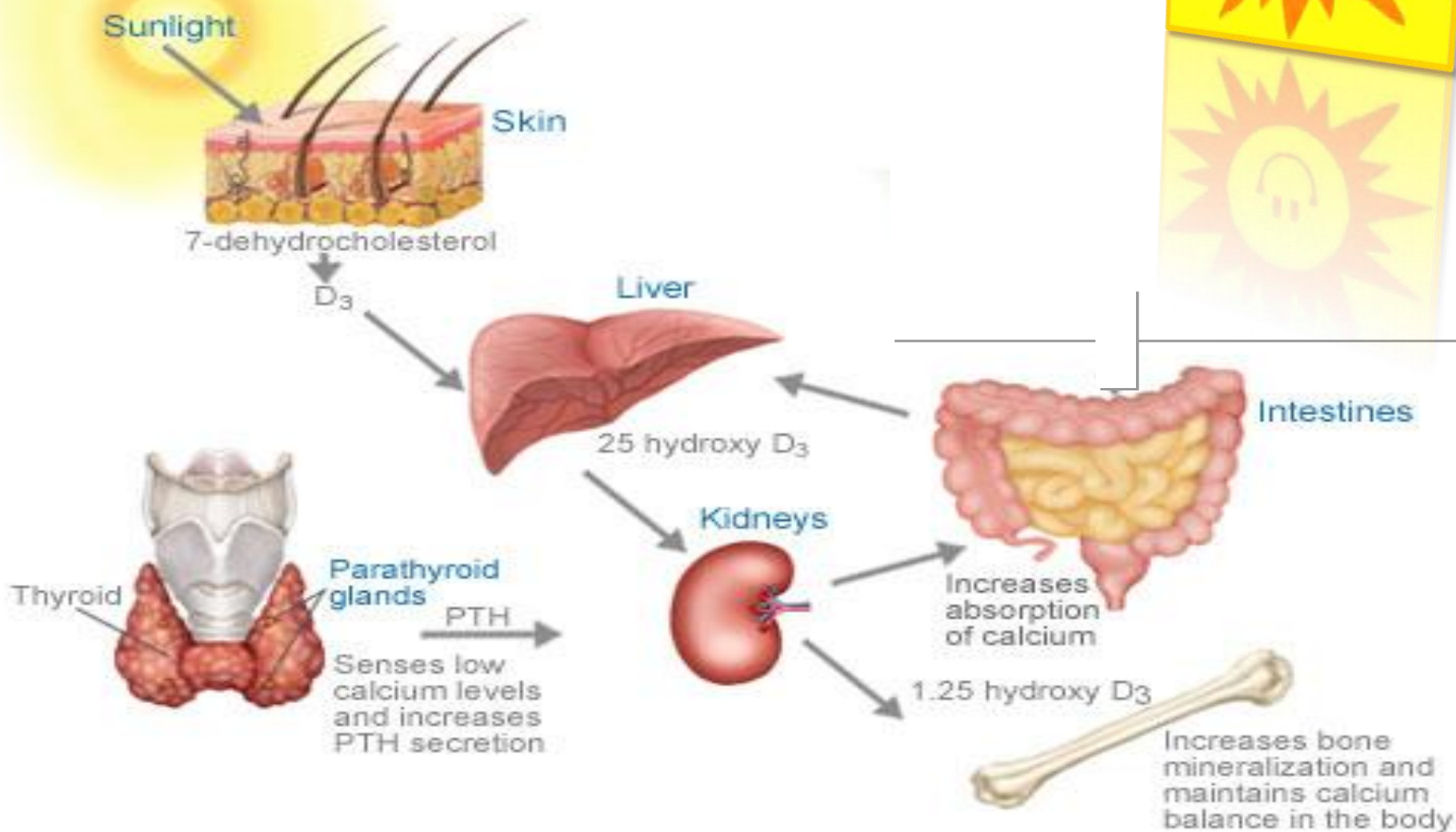


TERMOREGOLAZIONE



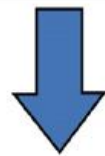
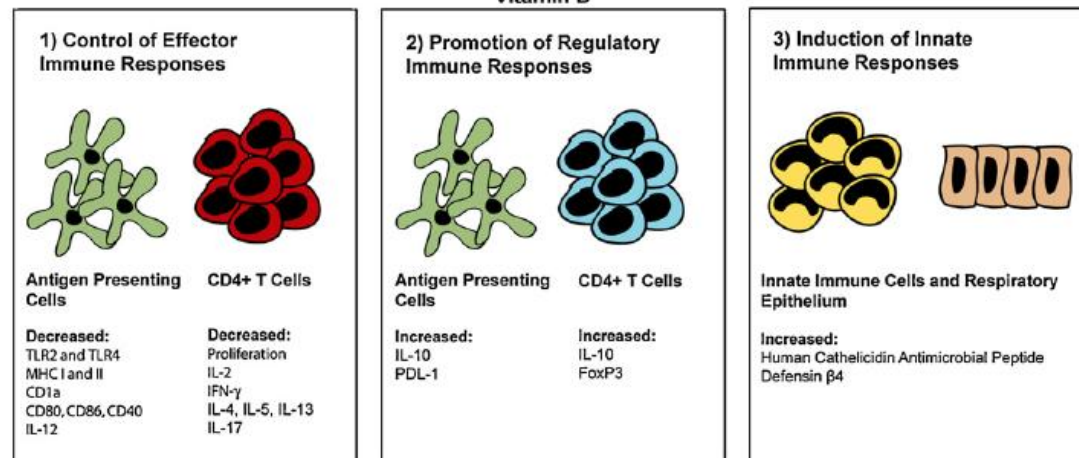
FUNZIONI DELLA CUTE:SCAMBIO

Vitamin D Metabolism

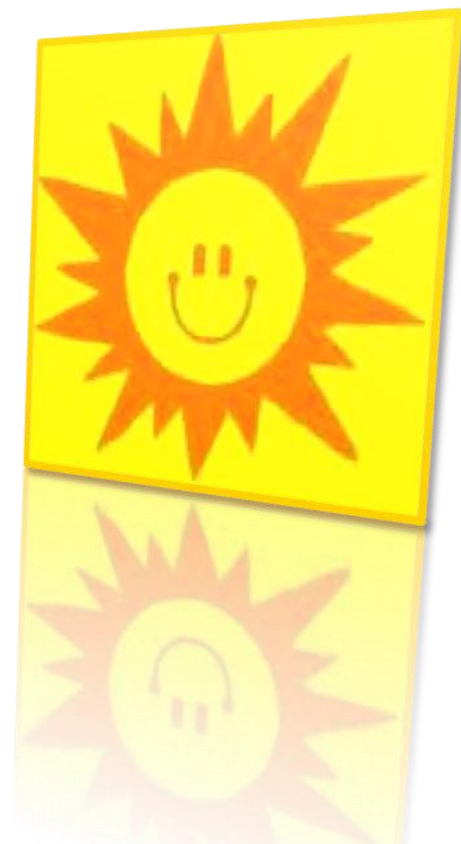
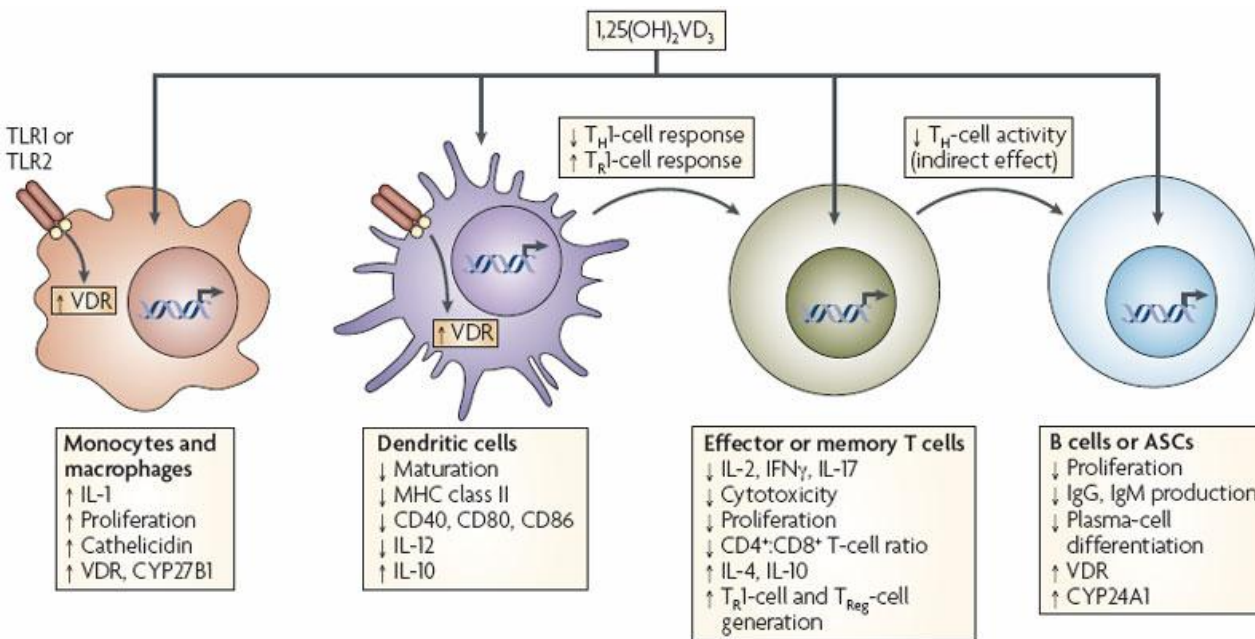


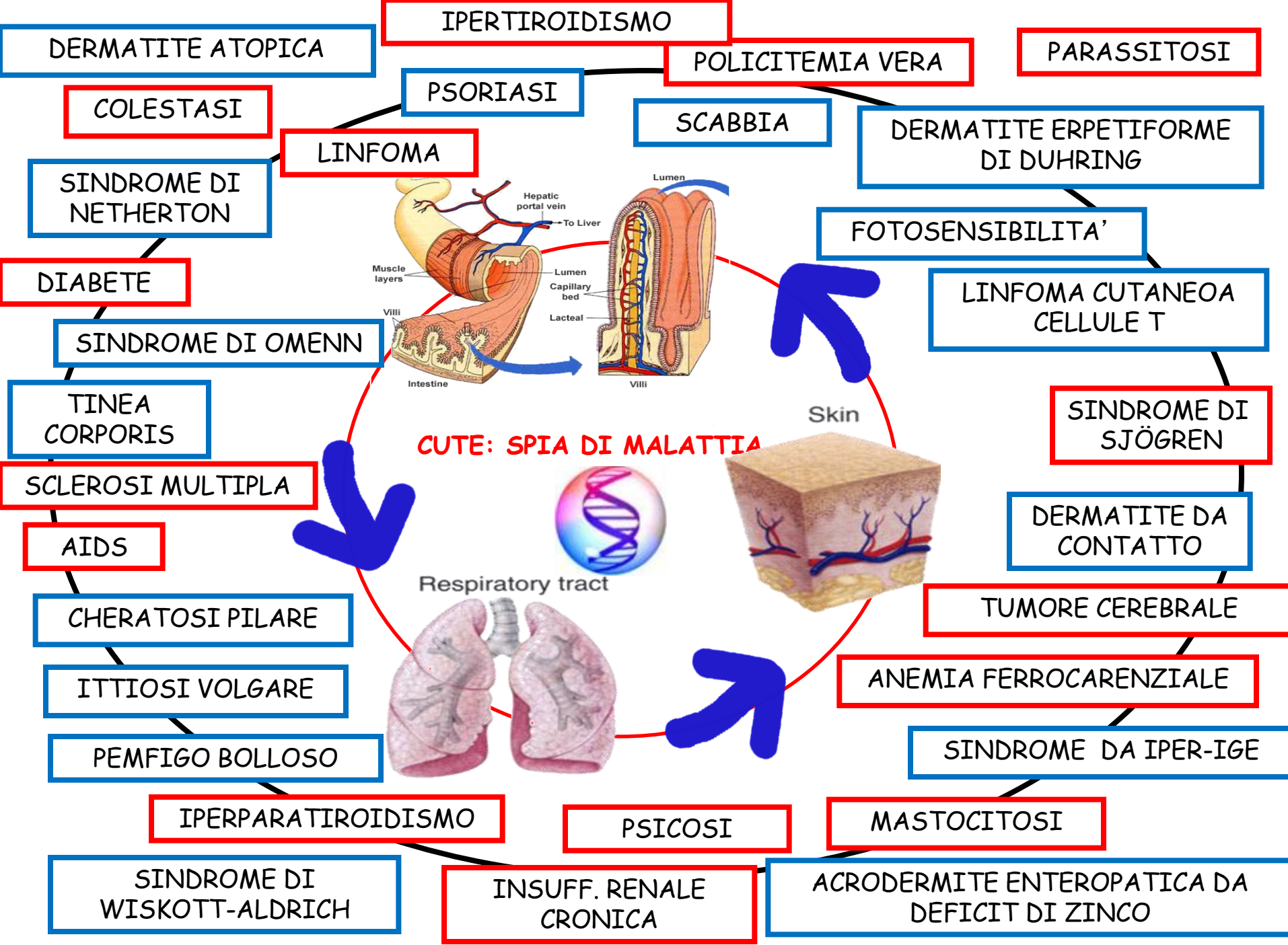
SISTEMA IMMUNITARIO E

VITAMINA D



Maintenance of Pulmonary Health





ANTONIO, 7mesi

CUTE PALLIDA



BETA THALASSEMIA MAJOR

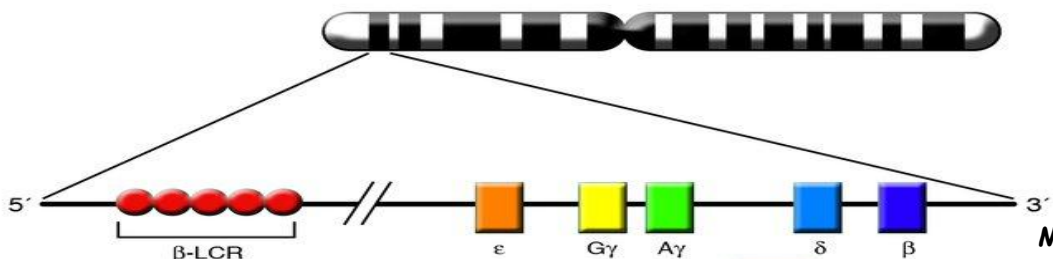
Hb A $\alpha_2\beta_2$ 96%

Hb A₂ $\alpha_2\delta_2$ 3%

Hb F $\alpha_2\gamma_2$ 1%



A



Anamnesi fisiologica

secondogenito, a termine, da PE. PN kg 3,100. IA 9-10. Allattamento con formula

Esame obiettivo

Cute pallida. MODESTA SPLENOMEGLIA

Indagini ematochimiche e strumentali

Esame emocromocitometrico:

GR 3.100.00 mmc, Hb 8,1 g/dL, MCV 59 GB 8.000 mmc

Supplemento d'anamnesi:

GENITORI NON CONSAGUINEI MA: ↓ MCV ↑ HbA2

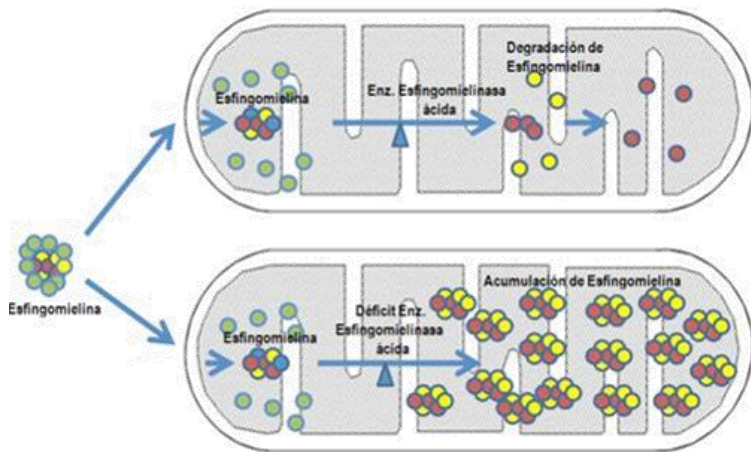
Media	Intervallo	Tipo	Soggetti
0,4	0,1–1,1	Sania	
1,1	0,4–2,3	Sani in gravidanza ^b	
1,4	0,4–2,5	Sani con -158 C→T eterozigosi	
1,6	0,3–2,2	β-talassemia eterozigote	
2,0	1,2–3,9	Sani in gravidanza con -158 C→T eterozigosi	
2,8	1,5–4,7	β-talassemia eterozigote con -158 C→T eterozigosi	
3,9	0,5–7,2	Sani con -158 C→T omozigosi	
6,8	1,4–15,0	β-talassemia eterozigote con -158 C→T omozigosi	

LOCATION	MUTATION	β-THAL TYPE
IVS 1-110	G→A	β+
CD 39	C→T	β°
IVS 2-1	G→A	β°
CD 6 A	-A	β°
IVS 1-1	G→A	β°
IVS 1-6	T→C	β+
IVS 2-745	C→G	β+
-87	C→G	β+

Mutazioni testate in soggetti con beta-talassemia in Sicilia

Luca, 2 mesi

CUTE GIALLA



Anamnesi fisiologica

Primogenito, a termine, da PE. PN kg 2,900. IA 9-10. Allattamento con formula

Anamnesi patologica prossima

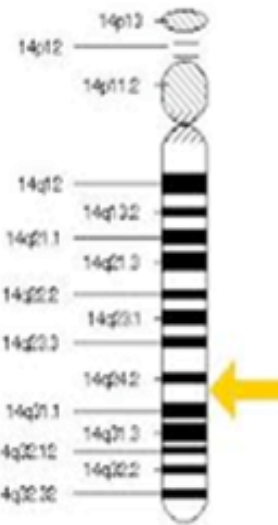
2° giornata di vita insorge ittero

Bilirubinemia tot 12,4 mg/dL

Feci normocoliche ed urine normocromiche.

Esame obiettivo

Ittero; non manifestazioni emorragiche; epatomegalia (2 cm)



Indagini ematochimiche e strumentali

Esame emocromocitometrico:

GR 3.600.00 mmc, Hb 11 g/dL, GB 8.000 mmc

Bilirubinemia totale: 9,4 mg/dL

Bilirubinemia diretta 6 mg/dL

Bilirubinemia indiretta 3,4 mg/dL

ALT (SGPT) 88 U/L AST (SGOT) 176 U/L GGT 93 U/L

Fosfatasi alcalina 641 U/L

Esame delle urine: assenza di pigmenti biliari

Sierologia virale e batterica: negativa

Ricerche per ipotiroidismo: negative

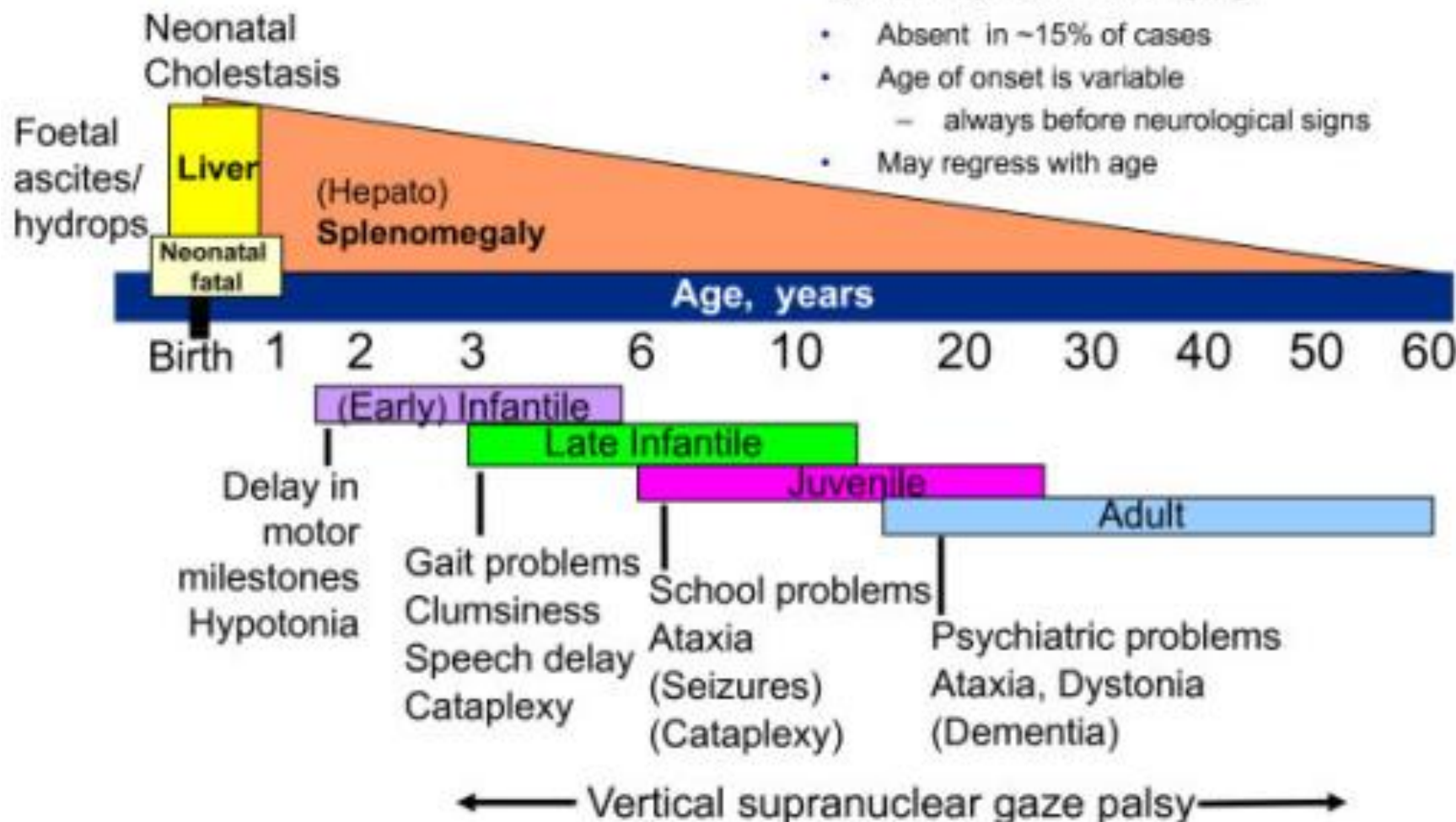
ECO epatico: viene confermata l'epatomegalia, senza alterazioni evidenziabili a carico delle vie biliari

ITTERO COLESTATICO NEONATALE

NIEMANN PICK TIPO C

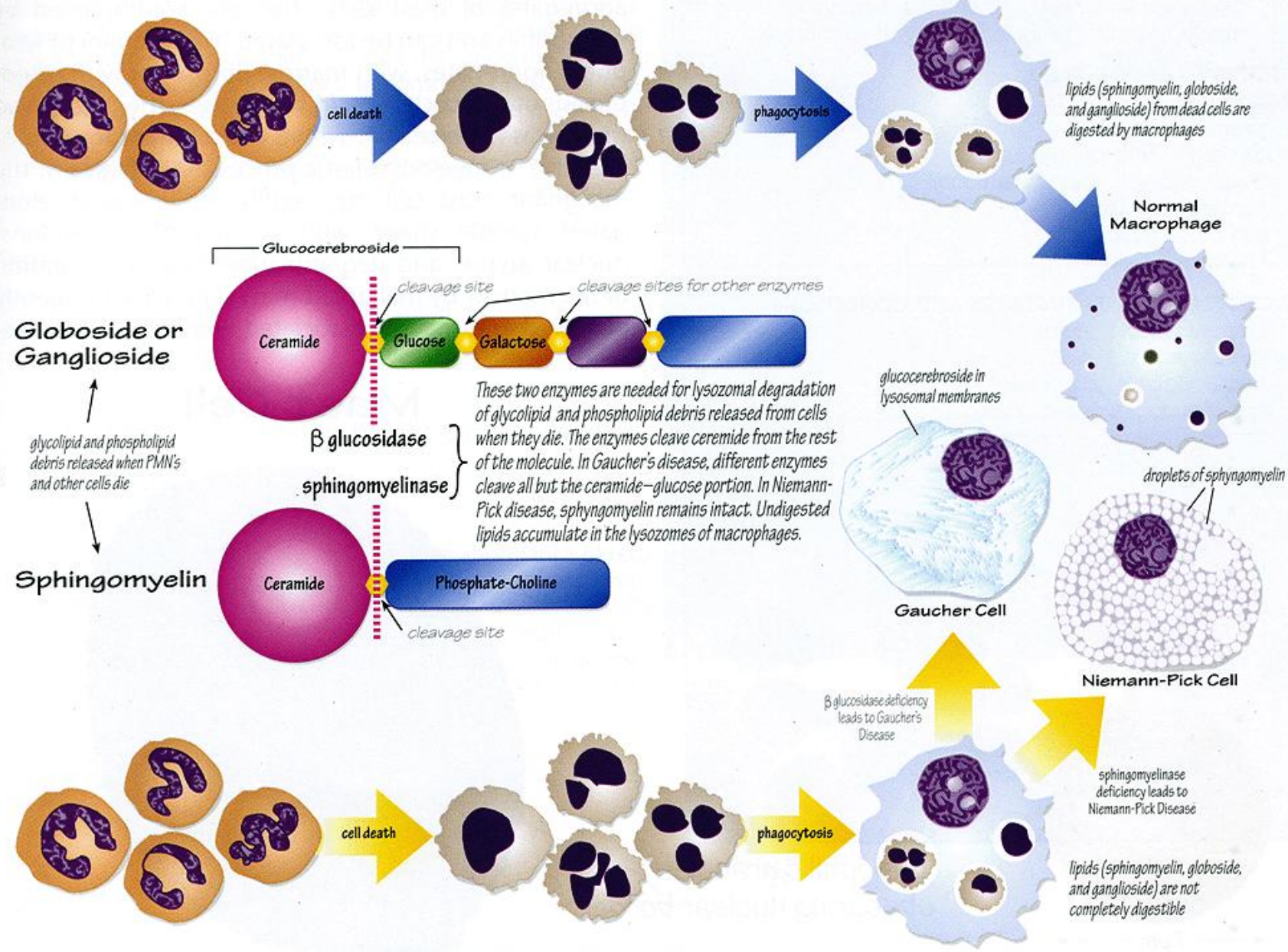
NIEMANN PICK TIPO C: LIPIDOSI LISOSOMIALE COMPLESSA

Systemic involvement



Neurological involvement

NORMAL CELL BREAKDOWN AND DIGESTION BY MACROPHAGES



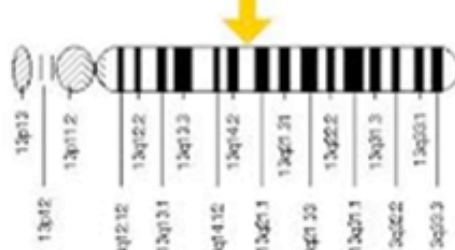
ACCUMULATION OF UNDIGESTIBLE LIPIDS DUE TO ENZYME DEFICIENCY

KEVIN, 2 anni

CUTE BRONZINA



MALATTIA DI WILSON



cupruria post-
penicillamina:
82mcg/24h

□ 2010

Bruciore prepuziale ed emissione di urine ipercromiche

□ Marzo 2011

Bruciore prepuziale ed emissione di urine ipercromiche

AST e GGT NN

ALT 2 xN,

↓ ceruloplasmina 0.14g/L, (>0,2)

cupruria 24h basale:

13 mcg/24h (1° campione),

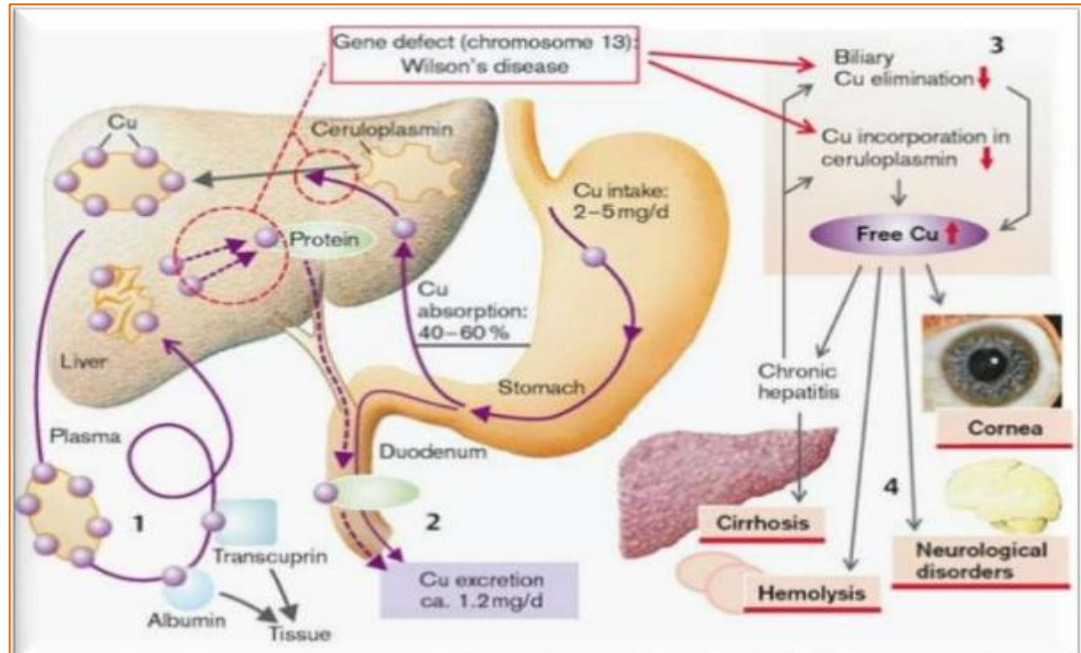
28mcg/24h (2° campione),

35 mcg/24h (3° campione)

Biopsia intra-epatica: rame intraepatico: 183mcg/g tessuto

□ Agosto 2011

V1262F nell' esone 18 e L795F nell' esone 9 CR 13



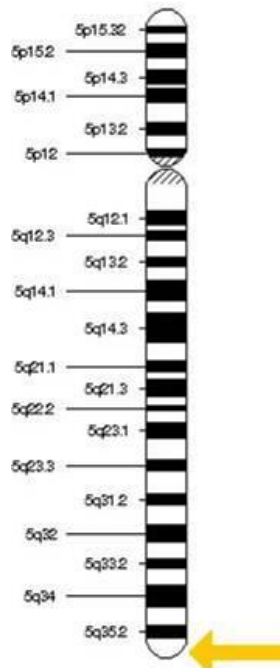
DYLAN 3 MESI



DYLAN 5 MESI



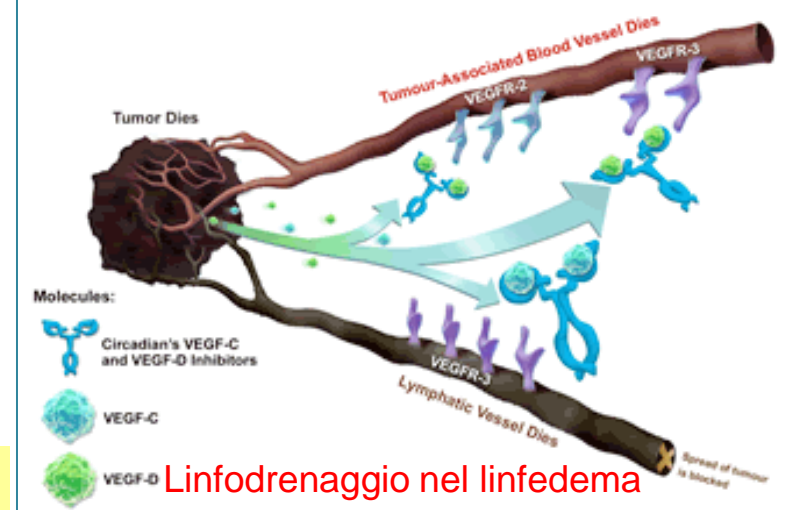
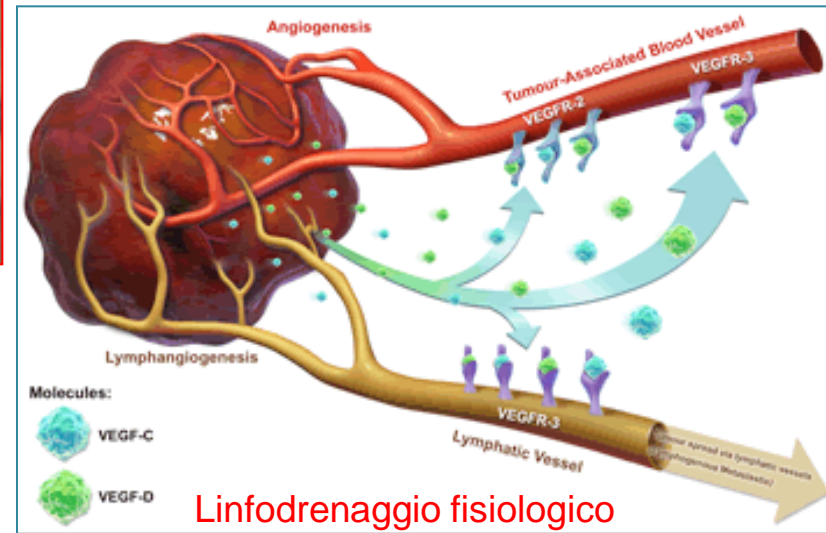
segno di Stemmer (difficoltà ad afferrare una plica cutanea sulla parte dorsale del secondo dito dei piedi)



VEGFR3

(recettore 3 del fattore di crescita endoteliale vascolare)

LINFEDEMA DELL'INFANZIA PRIMITIVO

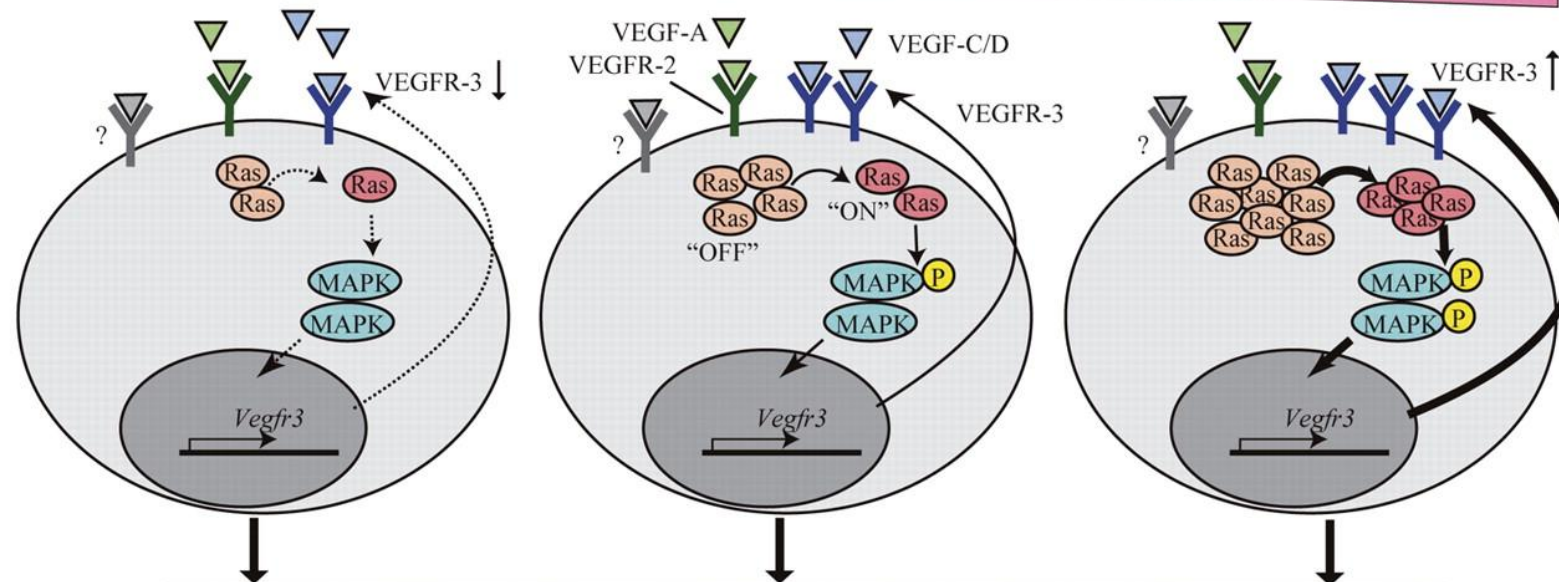


Ras compound knockout
Ras knockdown

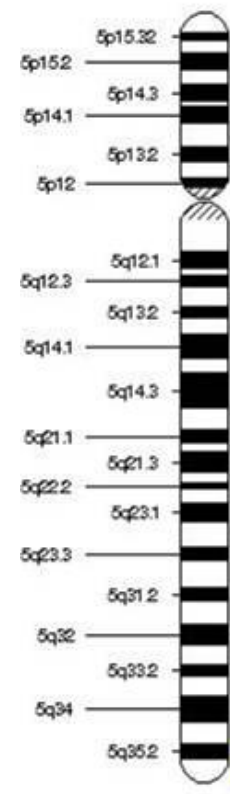
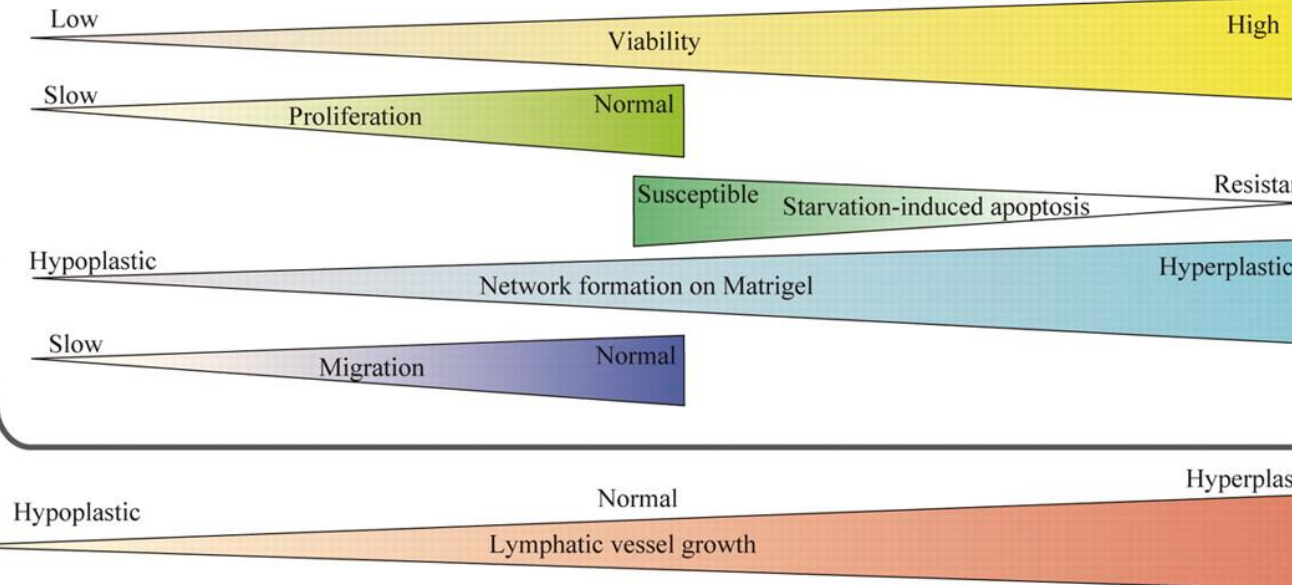
Normal

Ras transgenic

Total Ras proteins



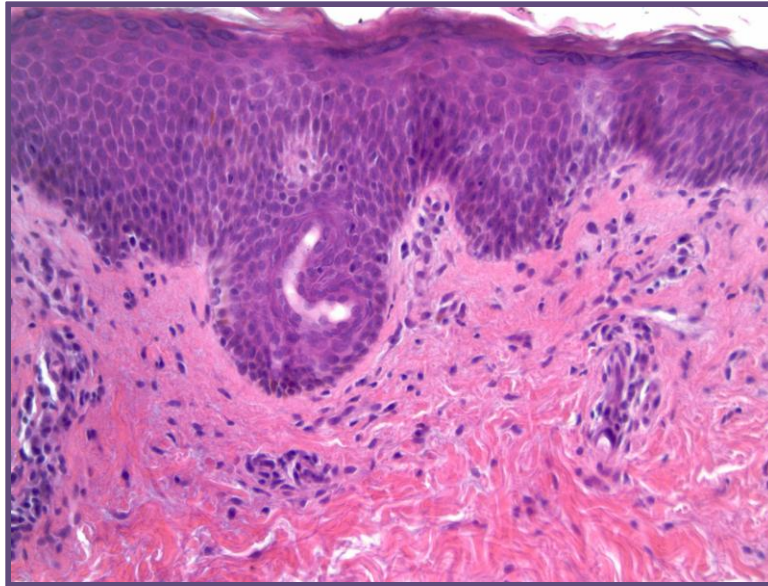
Cellular responses





Antonio 13 anni

Eruzioni cutanee anulari purpuriche in gruppi e /o isolate, pruriginose a livello del tronco, braccia, cosce ed inguine



Esame istologico: **SPONGIOSI**
Segno “tilting up”. Infiltrato linfocitario perivascolare con vari gradi di esocitosi. A tratti presenza di discheratosi e stravaso di cellule ematiche.

THE CHILD

A JOURNAL OF PEDIATRICS

OPEN ACCESS

Vol 1 - No. 3 - october 2013 Four-monthly Journal of Pediatrics - ISSN 2240-791X

[Home](#) • [Search](#) • [Print page 7](#) • [Create PDF file](#) • [Instructions for authors](#)

A unusual case of Pityriasis Rosea

Cuppari C, Manti S, Pidone C, Morabito G, Colavita L, Alterio T, Salpietro C
UOC Genetics and Pediatric Immunology - Pediatric Department - University of Messina

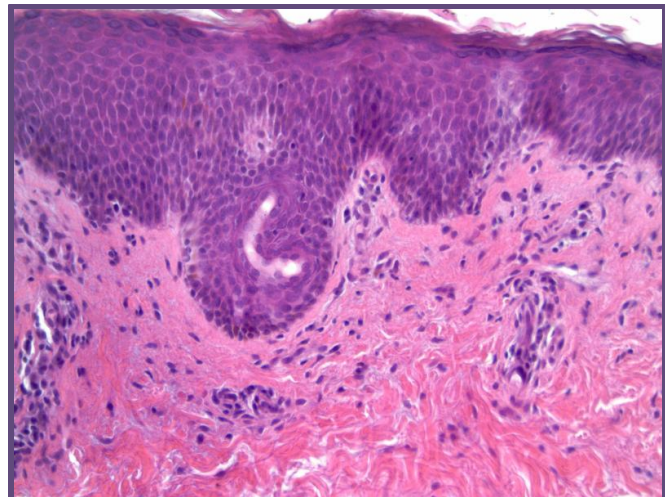
CASE REPORT

We describe a 13 years old child with a possible annular purpuric eruption. He gave initially history of appearance of a single erythematous scaly plaque on the left arm. This lesion presented annular morphology with central clearing and peripheral collarette scaling at places. Systemic physical examination revealed round to oval, in groups and/or isolated, purpuric, maculopapular, scaly, some crusted, some annular, mildly pruritic plaques on his trunk, arms, thighs and groins. All the lesions were arranged in a "Christmas tree" pattern.



Histologic Features: SPONGIOSIS.

The epidermis may be normal in thickness to mildly acanthotic. Focal parakeratosis, sometimes with one end of the parakeratotic focus "tilting up". Perivascular lymphocytic infiltrate with varying degrees of exocytosis. Dyskeratosis and red blood cell extravasation may sometimes be present.



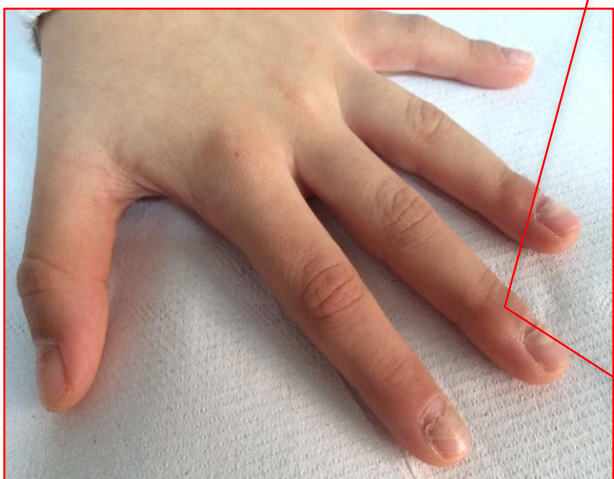
SINDROME BOCCA-MANI-PIEDI

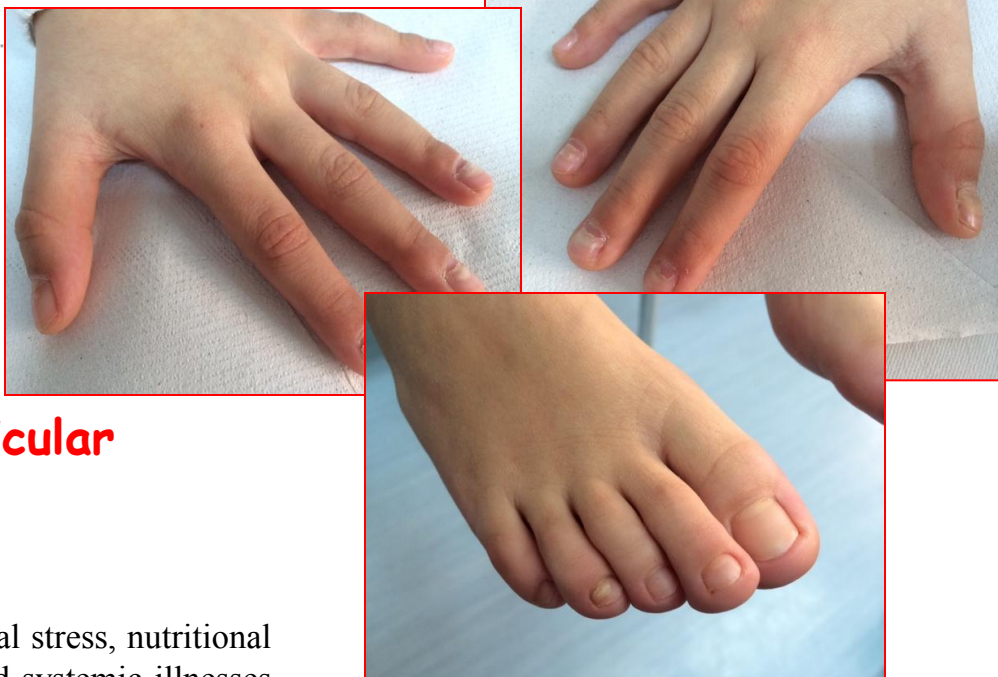
Martina 7 anni



Dopo 4 settimane:

ONICOLISI





Not only fever and palmoplantar vesicular eruption

Manti S, Cuppari C, Arrigo T, Salpietro C

Nail matrix arrest is commonly seen following a physiological stress, nutritional deficiencies, drug/chemotherapeutic exposures, infection, and systemic illnesses [1] such as **hand-foot-mouth disease** (HFMD). Here, we describe a case of **onychomadesis** due to HFMD. A 20-year old girl, with past medical history unremarkable (no drug-, no prior trauma-, no paronychia, no onychomycosis-history was reported), presented with fever, sore throat, and palmoplantar vesicular eruption consistent with the diagnosis of HFMD, which had since resolved. However 3 weeks later, clinical examination revealed Beau's lines (transverse ridging of the nail plate) and onychomadesis over all the finger- and some of toe-nails. HFMD is a common benign self-limiting childhood viral illness associated with coxsackievirus A16 (CV-A16) and enterovirus 71 (EV-71) infections [2]. Atypical HFMD is a possible cause of onychomadesis (growth cessation of longer-term nail and/or nail matrix causes nail shedding from the proximal portion) [3]. The incidence of this phenomenon was not reported [4]. It was first described in 2000 in 5 children, and it has since been associated to several enterovirus serotypes, especially CV-A16 [3]. **The underlying infections** 2014;10(Oct):e12(5):947-8 et al. proposed that the virus, through direct action on the nail matrix keratinocytes, would probably lead to arrest it [1]. The temporal association with 3-9 weeks interval between disease and



un altro caso...

Rosanna 5 anni

Ipotonia infantile e difficoltà alimentazione

Ritardo mentale e psicomotorio

Dal 12 mese appetito vorace e obesità grave

Apnee notturne

Bassa statura

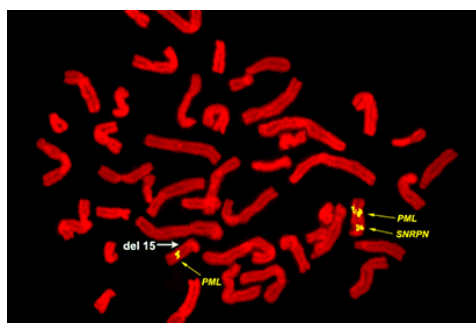
Facies caratteristica (microcefalia, diametro bifrontale stretto, fronte alta, labbro sup sottile, ridotta pigmentazione cute e capelli)

Mani e piedi piccoli

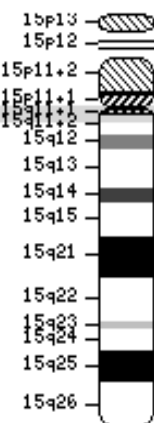
Da 3 settimane: comparsa di escoriazioni cutanee, riferito prurito . Terapia antistaminica con scarso beneficio.



SINDROME DI PRADER-WILLI

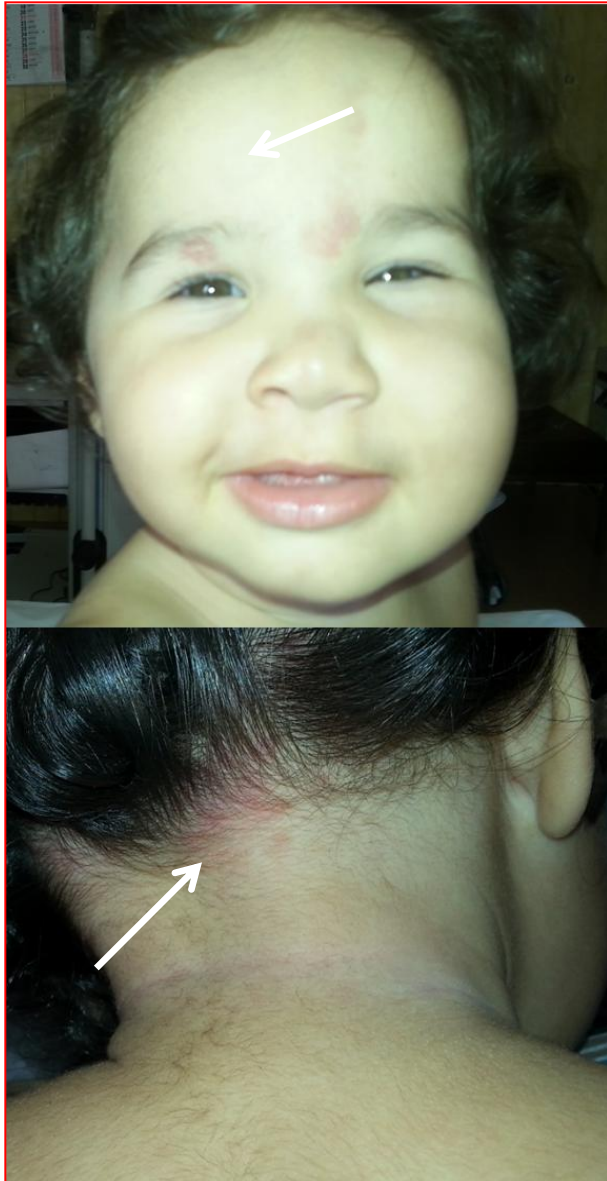


DELEZIONE 15q11-
q13 PATERNA



SKIN-PICKING
LESIONI
AUTOPROVOCATE

GRETA, 16 mesi

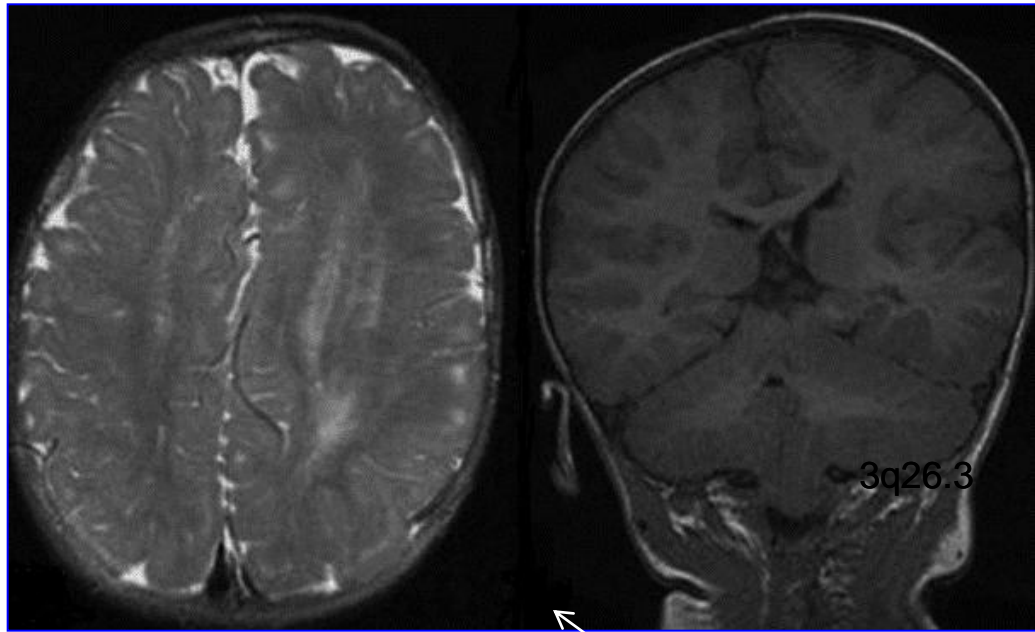


Macrocrania
Emi-ipertrofia
Malformazioni
capillari

GRETA, a 20 mesi



GRETA, 20 mesi



RMN: l' emiipertrofia del lato sx coinvolge anche il SNC → “Emimegalencefalia” sx

A SX (sezione assiale): Emisfero sinistro emimegalencefalico con maggiori alterazioni del segnale a livello della sostanza bianca rispetto al destro

A DX (sezione coronale): Asimmetria cerebrale e cerebellare (sx>dx).

DIAGNOSI: SINDROME DA MACROCEFALIA CON MALFORMAZIONE CAPILLARE

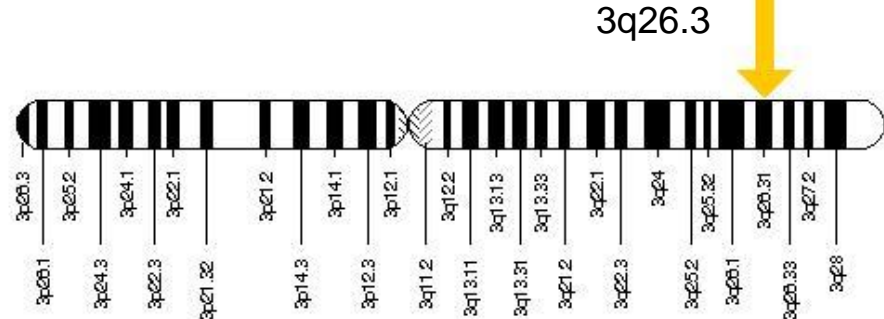
Analisi genetica su sangue periferico di Greta

positiva per mutazione del gene PIK3CA

(c.1252G>A; p.Glu418Lys) non riportata precedentemente in letteratura

PIK3CA

3q26.3



Manuel 6 mesi

nato da parto eutocico allattamento materno fino all' età di 3 mesi.

Familiarità per: DA e asma allergico (madre)

Da 3 mesi: dermatosi diagnosticata come DA per la quale è stato trattato con CS topici ed antistaminico senza alcun giovamento

EO: buone condizioni generali, presenza di bolle ed erosioni (esito delle bolle), acroposte e periorifiziali, pruriginose, non tese. **Assenza di capelli, ciglia e sopracciglia molto diradate.**



ACRODERMATITE ENTEROPATICA DA DEFICIT DI ZINCO

Zinchemia: 10mcg/dl
(VN: 80-125)

Zincuria non dosabile

TERAPIA:

Supplementazione di zinco (100 mg /die) con risoluzione pronta dei sintomi e delle lesioni nell' arco di pochi giorni



Cristina 8 mesi

Anamnesi familiare per allergopatie:
riferita negativa

Da una settimana comparsa di prurito
e dermatite esfoliativa ittiosiforme

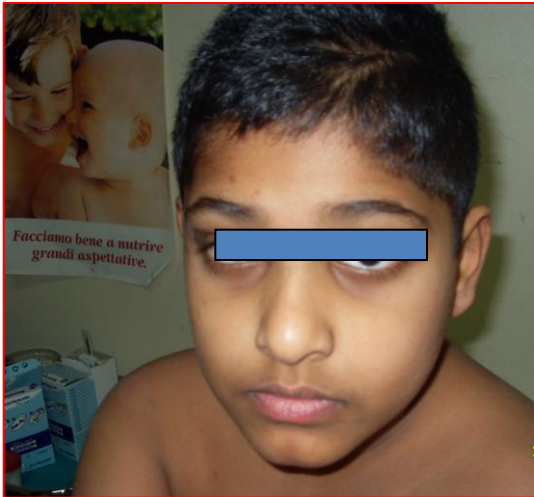
Da un mese: uso di crema emolliente
di provenienza cinese

DERMATITE ESFOLIATIVA DA CONTATTO

TERAPIA:

- Cetirizina 0,2mg/kg/die
- Emollienti “non cinesi”





Rayan 6 anni

- 1 MESE: dermatite → latte di soia, idrolisati proteici con scarso beneficio
- 8 MESI: frequenti episodi di otiti, wheezing, diarrea, scarso accrescimento, Cicli di corticosteroidi e antistaminici per os e corticosteroidi topici con parziali temporanee remissioni

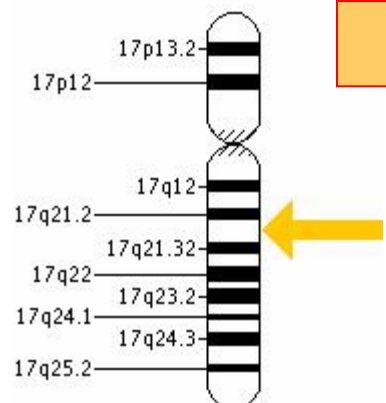
EO:

- occhi infossati, sella nasale larga e punta del naso carnosa
- severa dermatite pruriginosa impetiginizzata
- presenza di elementi nodulari, di un particolare colore grigiastro (ascessi freddi)
- onicomicosi

Es. lab.:

Ipereosinofilia (5890 mmc), IgE 4121 UI/ml

negativi e/o nella norma: AGA, EMA, TGA, esame parassitologico delle feci, autoimmunità



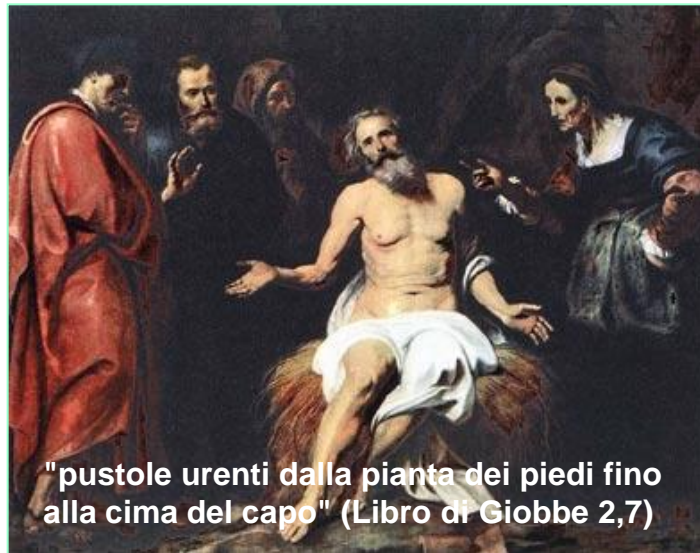
SINDROME DA IPER-IGE

Tipizzazione molecolare :
Mutazioni del gene STAT3

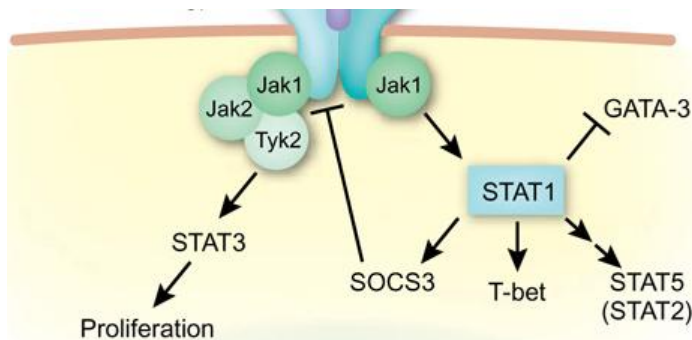
TERAPIA : amoxicillina + acido clavulanico (51mg/kg in 2 somministrazioni)
TRAPIANTO MIDOLLO?

SINDROME CON IPER IgE o S. DI GIOBBE

HIERIS (*Hyper-IgE Recurrent Infection Syndrome*) HIES (*Hyper-IgE Syndrome*)



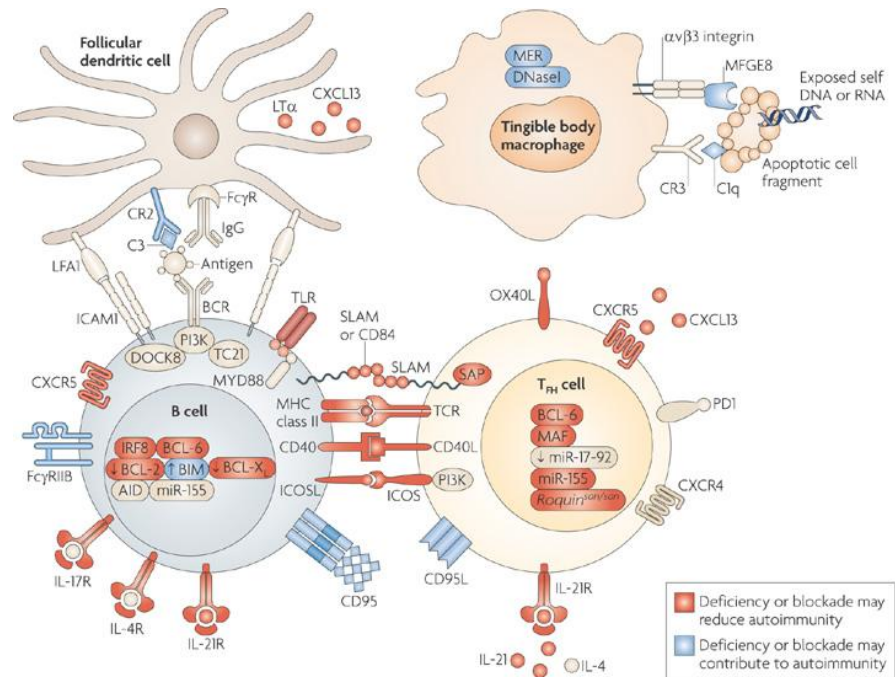
"pustole urenti dalla pianta dei piedi fino alla cima del capo" (Libro di Giobbe 2,7)



MUTAZIONI GENE STAT3 (17q21)
(5 diverse mutazioni)

MUTAZIONE GENE Tyk2 (19p13.2)

MUTAZIONE GENE DOCK8 (9p24.3)



GIADA



MADRE



NONNA



**ESPRESSIVITÀ MOLTO VARIABILE
(soprattutto interfamiliare)**

NEUROFIBROMATOSI TIPO I



Alessandro 6 mesi

Anamnesi familiare positiva per tireopatia
(padre), dermatite atopica (madre)

Allattamento esclusivo materno fino al 4 mese.
Nulla di patologico da segnalare.

Da 15 giorni:

- Prurito intenso
- Lesioni cutanee maculo- papulari di colorito bruno-rossastro



SEGNO DI DARIER POSITIVO

BIOPSIA CUTANEA
aumento del numero di mastociti

ORTICARIA PIGMENTOSA

TERAPIA:

- Cetirizina 0,2mg/kg/die
- Disodiocromoglicato 100mgx4vv/die
- Montelukast???

3 DERMATITI A CONFRONTO



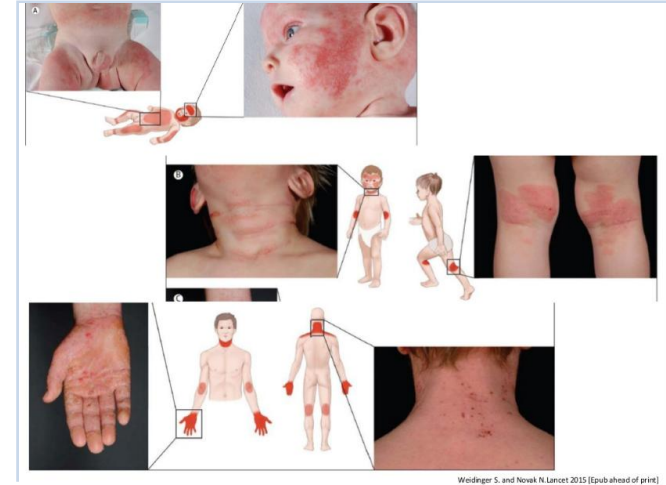
SARA



LUCA



GIULIA



Wedder S. and Novak N. Lancet. 2015 [Epub ahead of print]

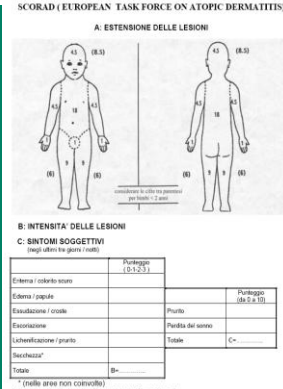
SCORAD

18
DA LIEVE

39
DA MODERATA

63
DA GRAVE

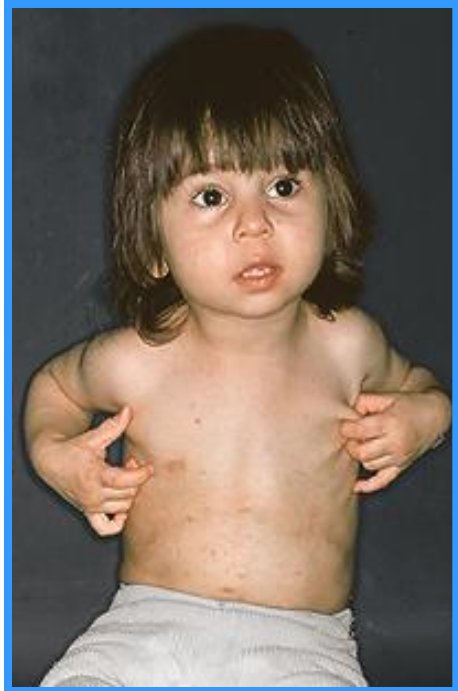
Scorad		
Estensione delle lesioni (A)		
Percentuale di superficie coperta per ogni zona del corpo (torace, mani, testa, piedi ecc.).		
Area	Punteggio x il bambino	Punteggio x l'adulto
Volto	8,5	4,5
Testa	8,5	4,5
Tronco (davanti)	18	18
Tronco (dietro)	18	18
Braccia (davanti)	Tot 9 (en+dk)	Tot 9 (en+dk)
Braccia (dietro)	Tot 9 (en+dk)	Tot 9 (en+dk)
Gambe (davanti)	Tot 12 (en+dk)	Tot 12 (en+dk)
Gambe (dietro)	Tot 12 (en+dk)	Tot 18 (en+dk)
Mani		4
Genitali		1
Es. 60% del torace corrisponde al 60% di 18 = 10,8. Se le aree interessate sono più di una si sommano i punteggi ottenuti!		
Intensità della lesione (B)		
Valutata con punteggio da 1 a 3 per ciascun tipo di lesione (eritema, edema ecc.)		
Sintomi soggettivi (C)		
Prurito	Punteggio da 1 a 10	
Insomnia	Punteggio da 1 a 10	
Formula per il calcolo		
$A/5 + 7B/2 + 5$		



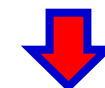
TOTALE SCORAD
A+B+C

A/5	
B/2	
C	
SCORAD	/103
SCORAD soggettivo (0-10-10)	/103

(SCORAD=35=grado lieve, 35-60= grado moderato, >60= grado severo)
ma al volto e alle aree genitili possono essere aggiunti 15 punti al calcolo dell'estensione delle lesioni
le lesioni gravi come in adolescenti/oltri vanno considerate alla voce Lichenificazione (quando il 1 estensione nella pelle nera va considerato alla voce Seccchezza (quando il



FENOTIPO
IPERLINEARITA'
PALMARE



GENOTIPO
SEGNO DI
MUTAZIONE FLG

Le lesioni si presentano come **maculo-papule eritematoso**, talora nelle fasi acute come **lesioni vescicolose ed essudanti**, e come **lesioni eritematoso e/o lichenificate** nelle fasi croniche.

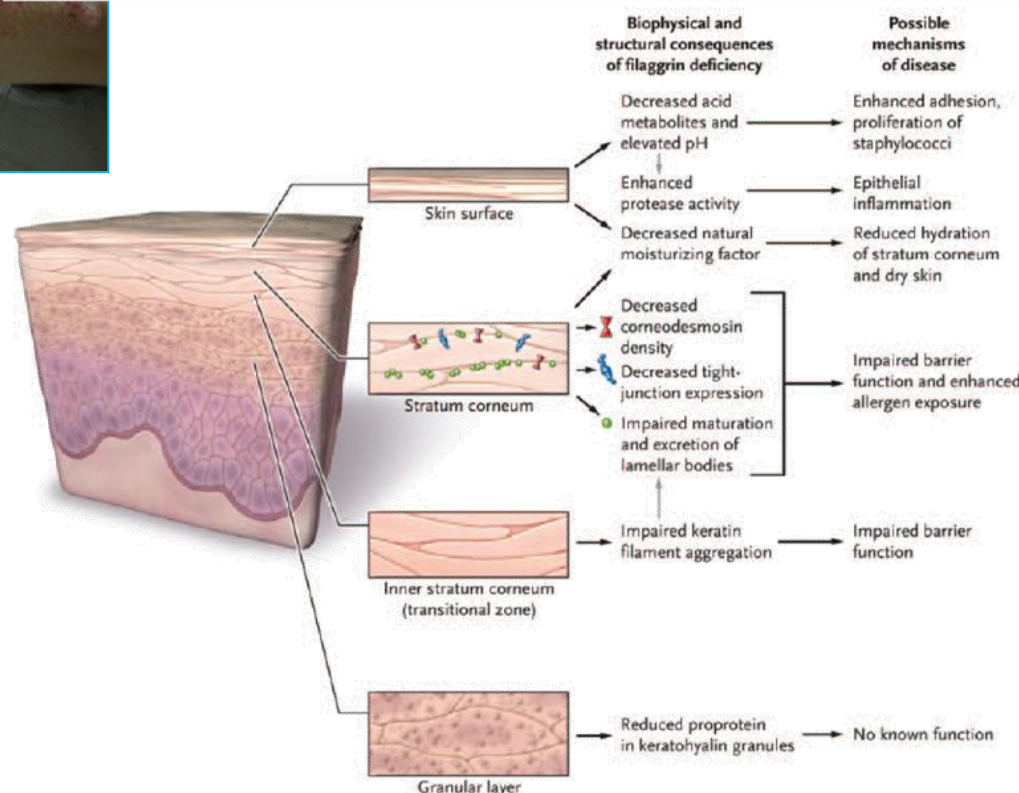
SKIN PRICK TEST ALIMENTI POSITIVO PER:

ARACHIDE (4mm)
NOCCIOLA (5mm)

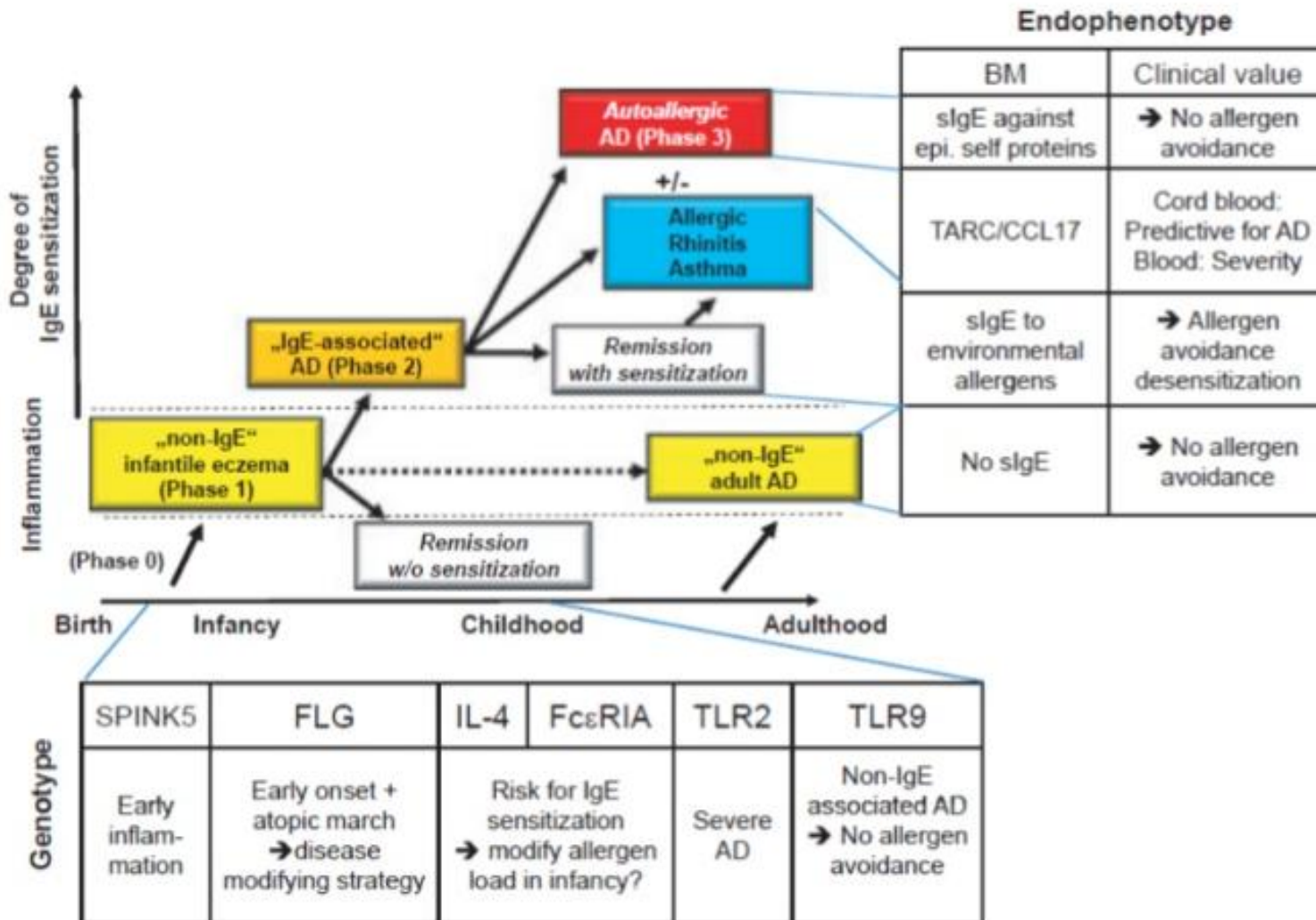
SKIN PRICK TEST INALANTI POSITIVO PER

DERMAT. PT E F. (6mm)
EPITELIO GATTO (5mm)
istamina (5mm)

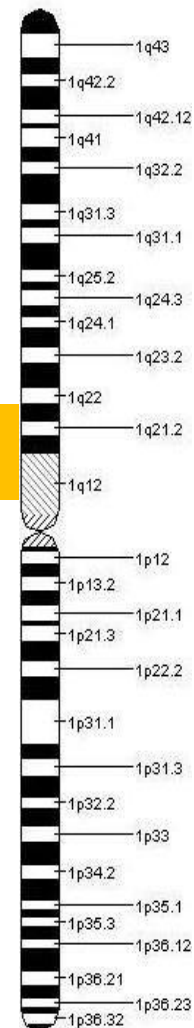
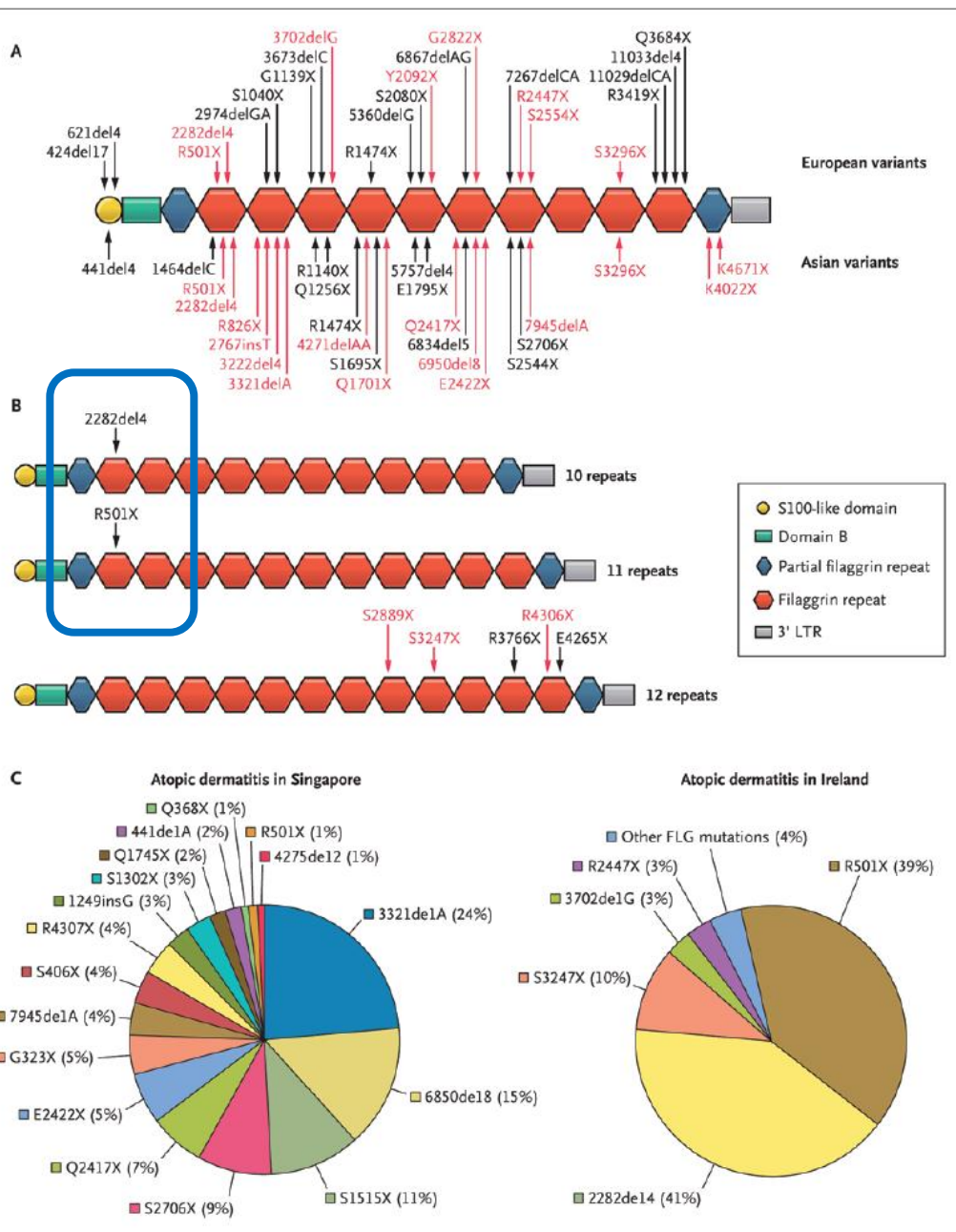
Ig E tot 104 UI/ml (vn per età 0-48)



Time has come to distinguish various AD phenotypes and endotypes

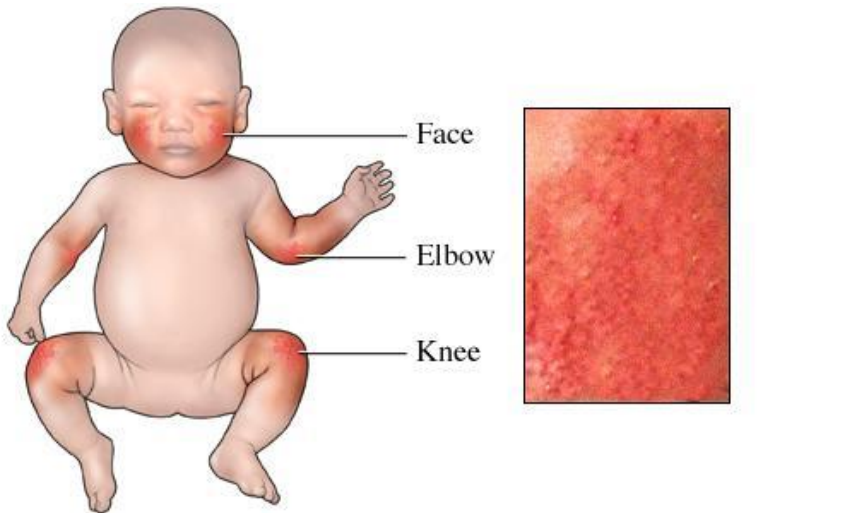


LE MUTAZIONI DEL GENE DELLA FILAGGRINA DI GIULIA



MUTAZIONE R501X

DELEZIONE 2282del4

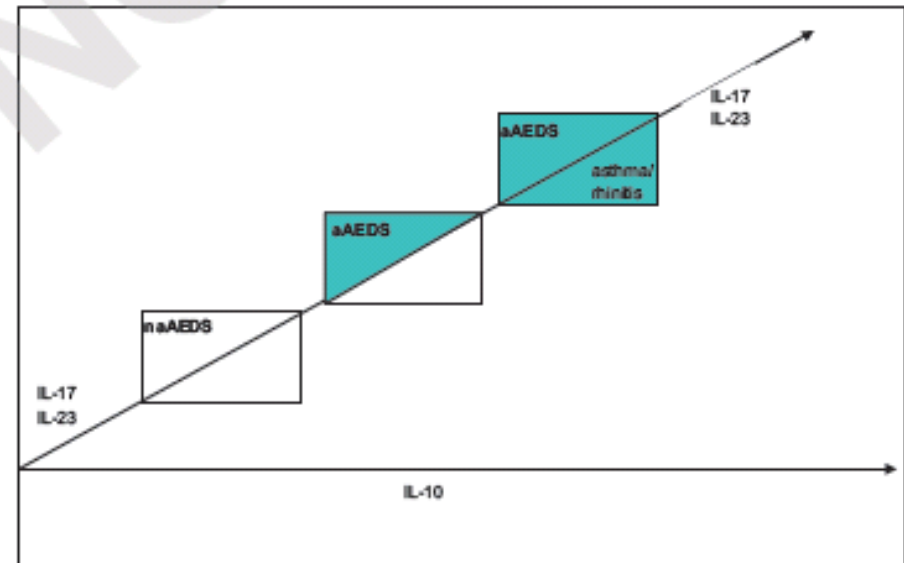
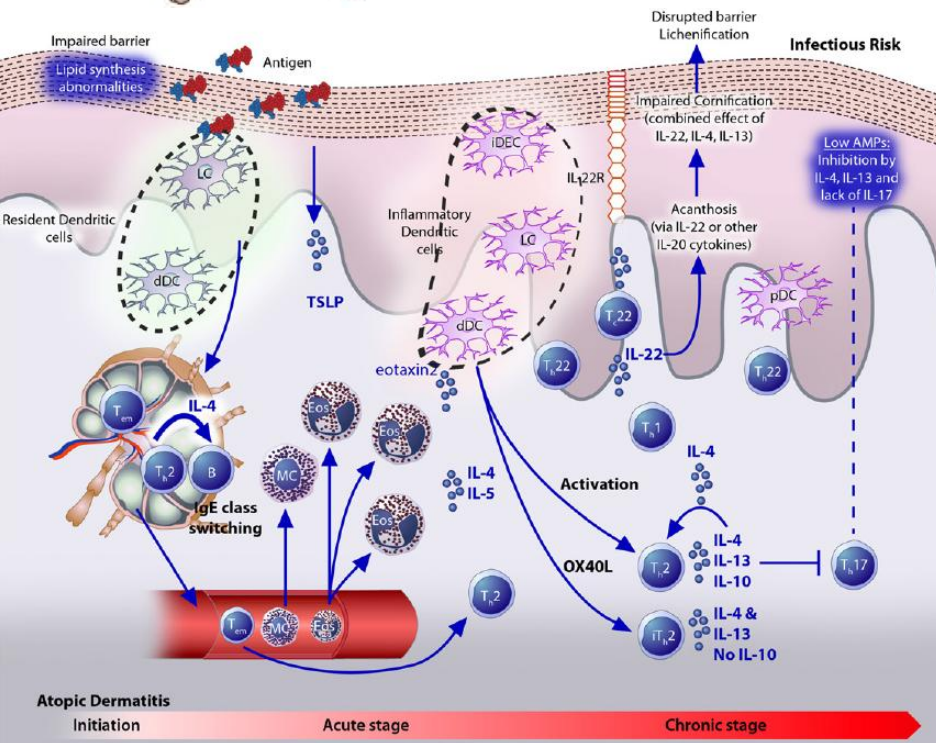


DERMATITE ATOPICA

Allergy Asthma Proc 36:74–81, 2015

Serum interleukin 17, interleukin 23, and interleukin 10 values in children with atopic eczema/dermatitis syndrome (AEDS): Association with clinical severity and phenotype

Salvatore Leonardi, M.D.² Caterina Cuppari, M.D.¹ Sara Mantù, M.D.¹ Martina Filippelli, M.D.²
Giuseppe Fabio Parisi, M.D.² Francesco Borgia, M.D.³ Silvana Briuglia, M.D.,
Patrizia Cannavò, M.D.,³ Annamaria Salpietro, M.D.,² Teresa Arrigo, M.D.,² and
Carmelo Salpietro, M.D.²

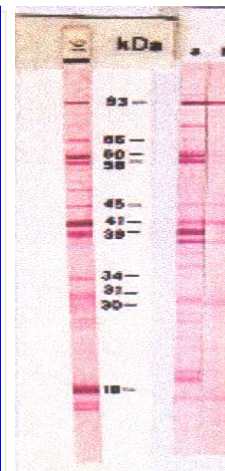


MALATTIA DI LYME

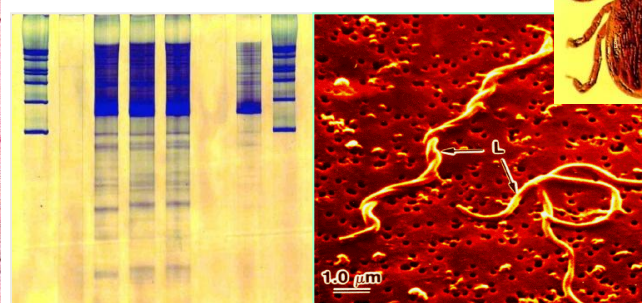


IgG anti-Borrelia 1:64

FASE PRECOCE	FASE TARDIVA
✓ astenia	
✓ febbre con brividi	✓ artriti
✓ cefalea	✓ Paralisi di Bell
✓ artromialgie	✓ meningiti
✓ adenomegalia	✓ radicoloneuriti
✓ "eritema migrans"	✓ adenomegalia
✓ altre manifest. cutanee	✓ aritmie



IMMUNOBLOTTING



BORRELIA BURGDORFERI



FRANCESCA 6 ANNI

APP→ da un mese comparsa di **tumefazione isolata e dolente al cavo ascellare destro**
temperatura febbrale (TC max 38,5° C)
Aumento progressivo delle dimensioni della tumefazione
Condizioni generali discrete. TC 37,2° C Microadenia periferica generalizzata. **Tumefazione cavo ascellare dx: • 3 cm Consistenza parenchimatosa Ipomobile sui piani sottostanti Dolente Ricoperta da cute integra,normoemica.** Obiettività cardio-respiratoria nella norma.Addome trattabile. Assenti organomegalie

LABORATORIO:

GR 4.130.000 mmc, Hb 12.2 gr%, MCV 90 fl, GB 9.300 mmc (N 63%, L 31%, M 4%, E 2%), PLT 296.000 mmc.

PCR 0.80 mg/dl, LDH 561 U/L, **IgG 1389 mg/dl** (vn 633-1016).

Nella norma/negativi: Emocultura, CMV, Adenovirus, HSV, Toxoplasma, Leishmania, EBV, striscio periferico, Mantoux, funzionalità d'organo.

ECO CAVO ASCELLARE: «... agglomerato adenopatico caratterizzato dalla **confluenza** di almeno 3 adenopatie con dimensioni comprese tra 1 e 2 cm a morfologia globosa e struttura ipoecogena, con conservato il centro-nodale.

Nella porzione anteriore si apprezza un'area a morfologia irregolare e struttura complessa caratterizzata da plurime **ariee anecogene** e confluenti, verosimilmente **colliquative**. Anteriormente il sottocute appare ispessito ed iperecogeno, come da **edema**...vivaci segnali vascolari al Color-Doppler.. Compatibile con Quadro di **complicanza colliquativo-ascessuale di adenopatia...**».



Sierologia per Bartonella:NEGATIVA
PCR DNA materiale purulento:POSITIVA

- Exeresi chirurgica in narcosi
- Aspirazione di circa 10 ml di materiale purulento perilinfonodale
- Guarigione per II intenzione





Lucia, 8 anni

lieve febbre e tosse inizialmente stizzosa

Avviata terapia con azitromicina. A distanza di 48 ore dall'assunzione dell'antibiotico: comparsa di importante **edema delle labbra** con evoluzione ingravescente fino alla comparsa di **lesioni ulcerative del cavo orale**



E.O.: edema delle labbra con aree di disepitelizzazione. Su gengive e palato molle si osservano numerose aree rivestite da fibrina assieme a piccole zone ulcerate. Lieve congiuntivite non secerente. Qualche lesione vescicolare agli arti inferiori

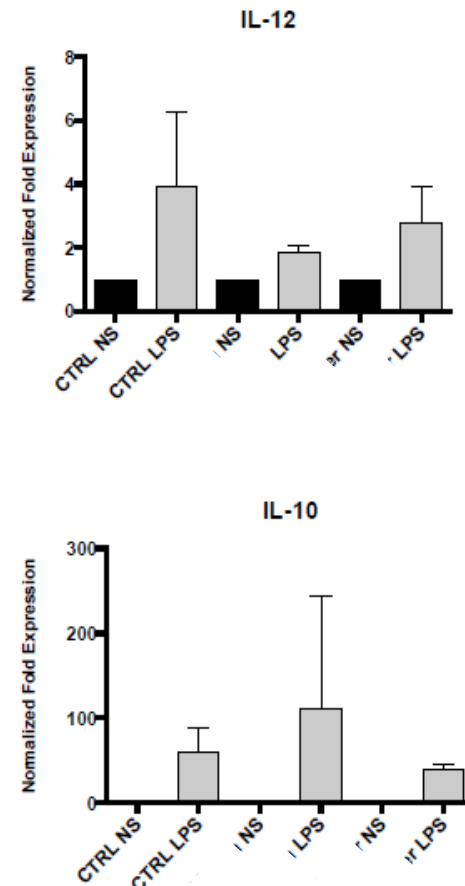
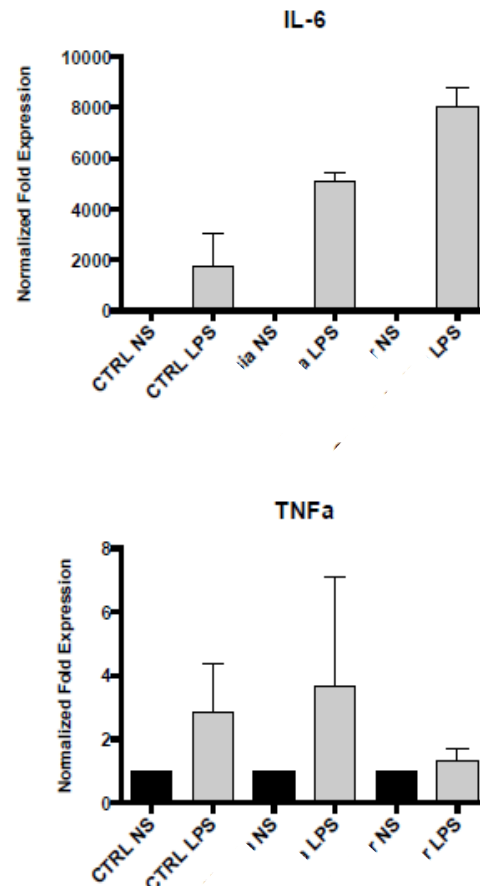


SINDROME DI STEVENS-JOHNSON

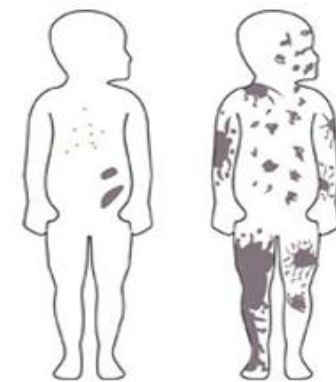
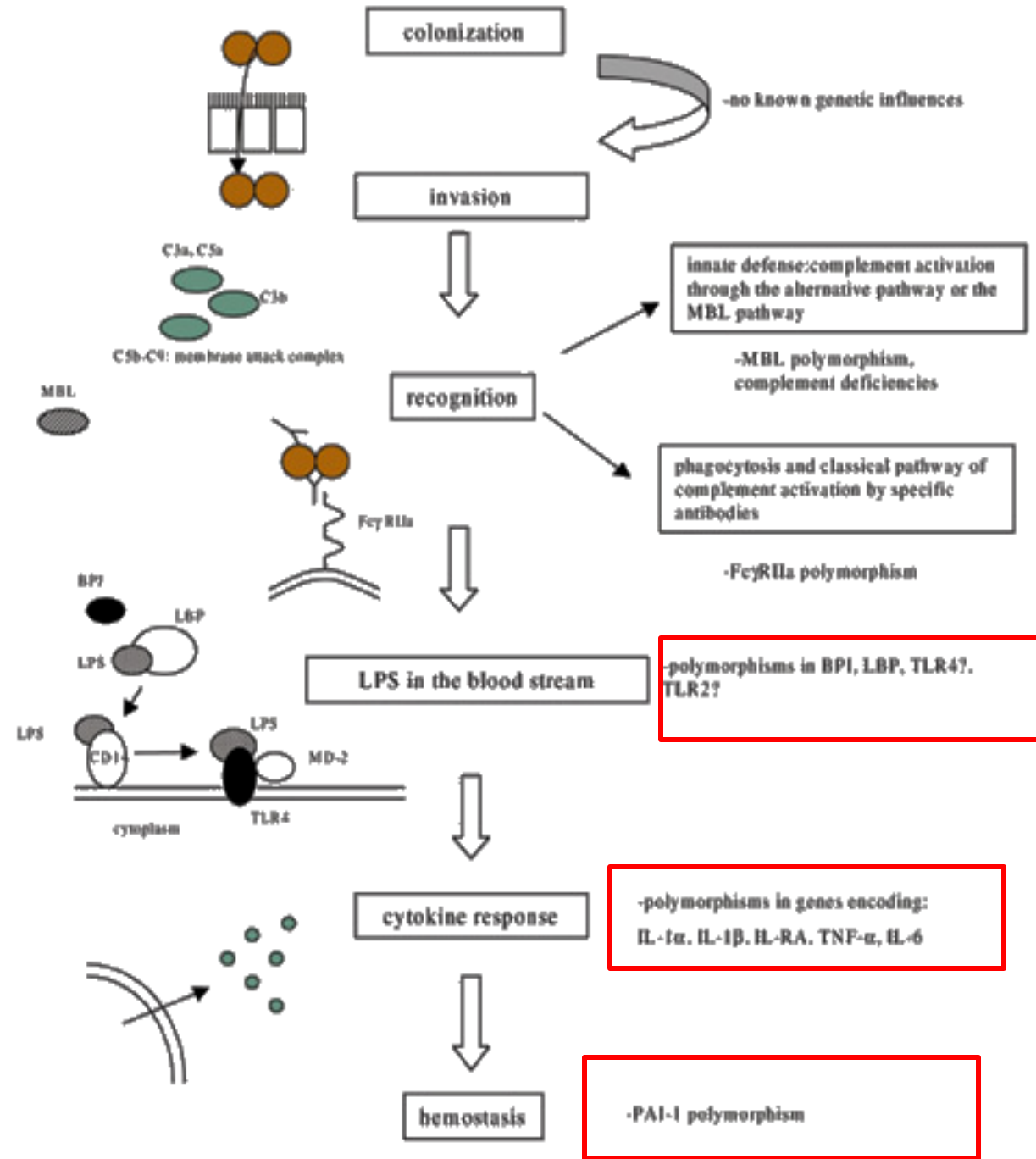


IgM e IgA anti *Mycoplasma pneumoniae*

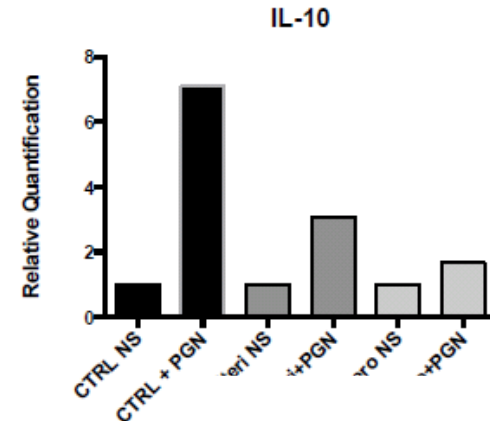
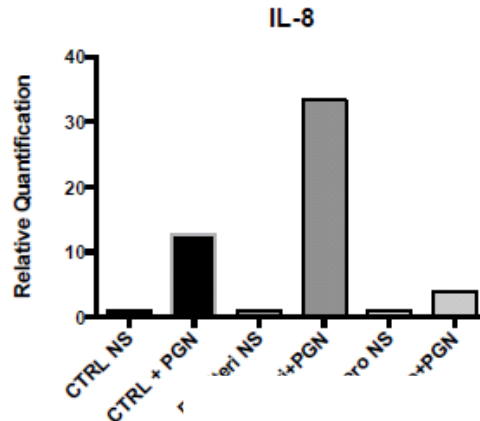
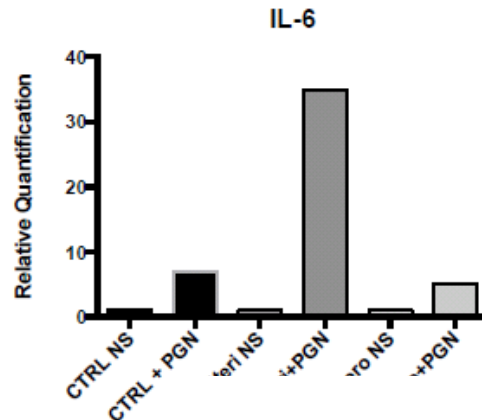
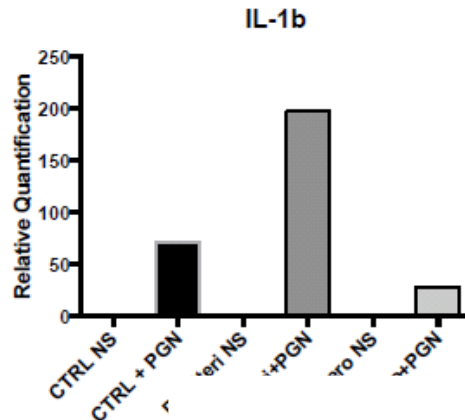
AURORA, 3 anni



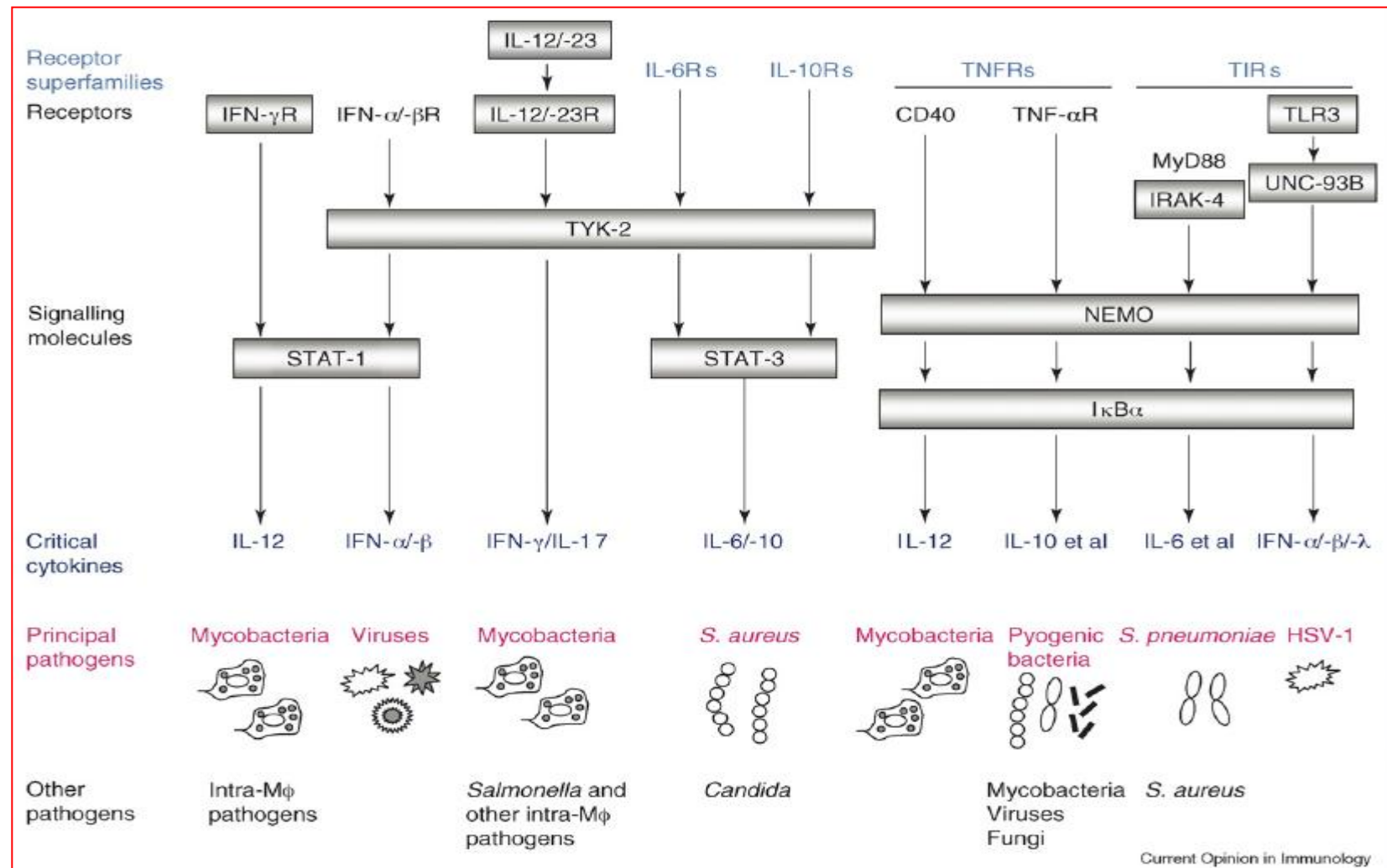
INFEZIONE DA MENINGOCocco



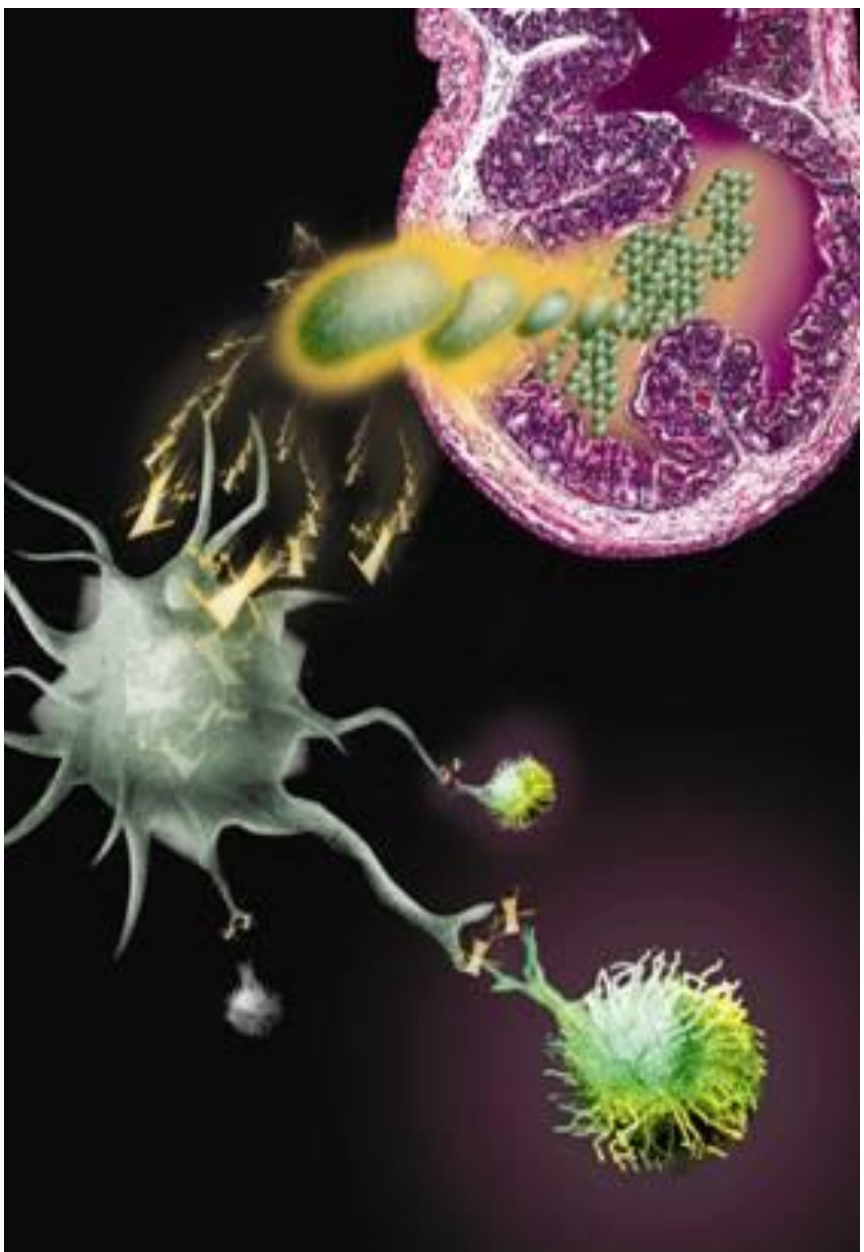
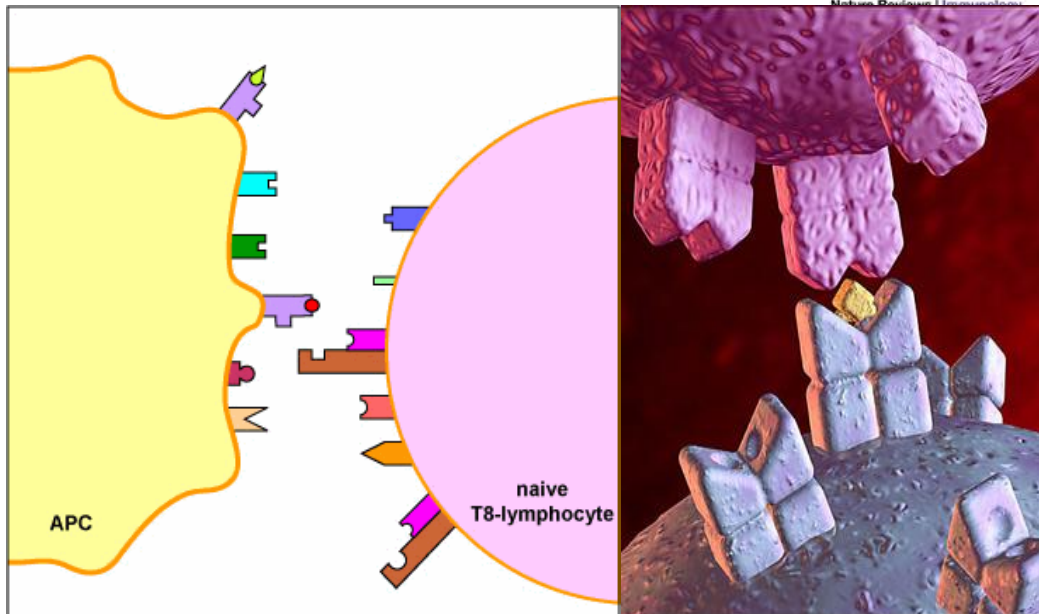
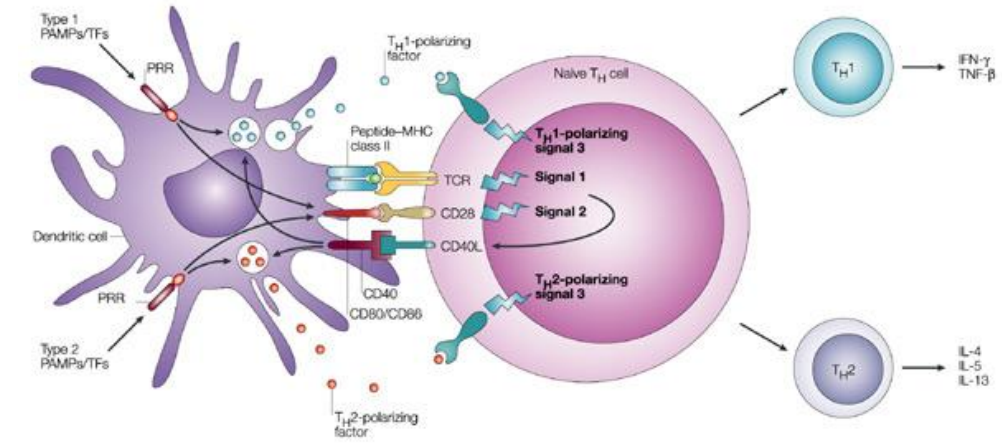
INFEZIONI RECIDIVANTI DA STAFILOCOCCO



**ALTERAZIONI DEL SEGNALE INTRACELLULARE A VARI LIVELLI, IN RAPPORTO ALLA MOLECOLA INTERESSATA E AL PATHWAY CITOCHINICO ALTERATO,
DETERMINEREBBERO UN'AUMENTATA PREDISPOSIZIONE A SVILUPPARE UNO SPETTRO PIU' O MENO AMPIO DI MALATTIE INFETTIVE**



INTERAZIONE CELLULA DENDRITICA/LINFOCITA



Alessandro, 5 anni



Anamnesi familiare

IBD (RCU: padre; MC: zio paterno)

Anamnesi fisiologica

Fenomeni neonatali riferiti nella norma. SVPM nella norma.

Anamnesi patologica remota

Da Marzo 2013, per comparsa di riferiti episodi di broncospasmo, seguito presso il nostro ambulatorio di immunoallergologia.

Anamnesi patologica prossima

Da settembre 2013 riferiti episodi febbrili a cadenza mensile della durata di 24-48h (TC max 38° C) sempre associati a marcati dolori addominali (senza vomito), talvolta diarrea. Aftosi cavo orale. Gli episodi erano responsivi a terapia corticosteroidea.

Esame obiettivo

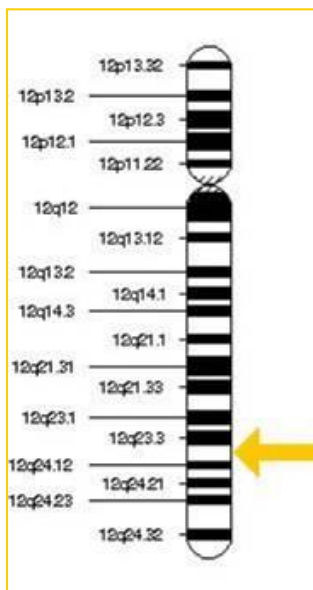
Parametri auxologici: peso Kg 13.900 (<3° C); statura cm 93 (<3° C).
Tumefazione palpebrale e, talvolta, tumefazione grandi articolazioni arti inferiori associate a lesioni purpuriche agli arti inferiori.





NEGATIVI/NELLA NORMA

Emocromo ed indici di flogosi, I livello, sierologia (Widal Wright, yersinia, borrelia, campylobacter, Parvovirus, CMV, EBV, HAV, HBV, ...), calcemia, FR, TAS, tampone faringotonsillare, emocultura, cpk, LDH, transaminasi, Ig pediatriche, sottopopolazioni linfocitarie, C3, C4, C1 esterasi, ANA, nDNA, ENA, anti-fosfolipidi, sieroamiloide A, ACE, striscio periferico, sierologia per celiachia, DQ2, DQ8. coprocultura, es. parassitologico, sangue occulto, elastasi fecale, calprotectina fecale, Hp-Ag fecale, Ecocardio, Ecoaddome, Ecografia dell'ultima ansa, Rx torace, Vis. oculistica+FO



ANALISI GENETICA PER PATHOLOGIA AUTOINFIAMMATORIA

Studio delle regioni codificanti e delle giunzioni esone-introne dei geni:

MEFV
MVK
NLRP12
NLR3
NOD2
PSTPIP1
TNFRSF1A

Presenza della variazione di sequenza in condizione OMOZIGOTE c.155G>A (dbSNP:7957619) che a livello proteico determina la variante p.S52N

**IL DIRITTO AD
ESSERE
CURATI**

ALF

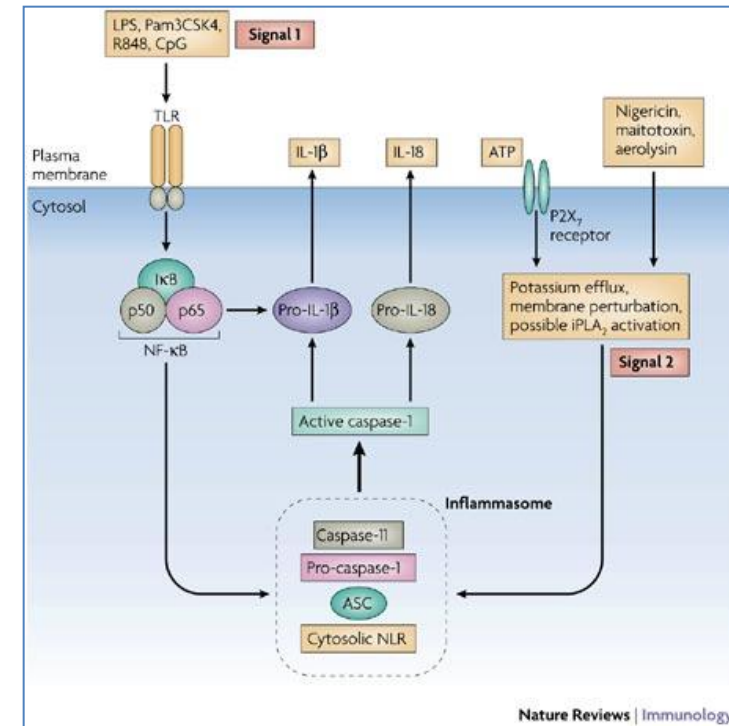
Ogni bambino ha
il diritto di ...



AUTOINFLAMMATORY SYNDROMES

Heterogeneous group of disorders recently framed, characterized by recurrent inflammatory episodes associated with alterations of innate immunity

HEREDITARY PERIODIC FEVER SYNDROMES



Nature Reviews | Immunology

DISEASE	GENE	TRANSMISSION	LOCATION	PROTEIN
FMF	MEFV	AR	16p13.3	Pirin
HIDS	MVK	AR	12q24	Mevalonato-Kinase
TRAPS	TNFRSF1A	AD	12p13	p55 TNF Receptor
MWS FCAS CINCA	CIAS1	AD	1q44	Criopirin



AZIENDA OSPEDALIERA UNIVERSITARIA POLICLINICO “G. Martino” MESSINA
DIPARTIMENTO DI SCIENZE PEDIATRICHE MEDICHE E CHIRURGICHE
UNITA' OPERATIVA DI GENETICA ED IMMUNOLOGIA PEDIATRICA
SCUOLA DI SPECIALIZZAZIONE IN GENETICA MEDICA
CATTEDRA DI PEDIATRIA
DIRETTORE PROF. CARMELO SALPIETRO



"I Percorsi Pediatrici dello Stretto 2016 "

20 FEBBRAIO

5 MARZO

9 APRILE

21 MAGGIO

26 MAGGIO Taormina

